

รายงานการวิจัย

การศึกษาการผลิตไฟฟ้าด้วยเทอร์โมอิเล็กตริก โดยใช้ความร้อนจากเตาเครื่องหุงกิจ

The Study of Cook-Stove Thermoelectric Power Generator

ผู้วิจัย

นายณรงค์ สังวรานนที

โครงการวิจัยทุนสนับสนุนงานวิจัยของมหาวิทยาลัยเทคโนโลยีราชมงคลกรุงเทพ
งบประมาณแผ่นดิน ปี พ.ศ. 2552
มหาวิทยาลัยเทคโนโลยีราชมงคลกรุงเทพ

กิตติกรรมประกาศ

รายงานวิจัยฉบับนี้สำเร็จลุล่วงไปได้ด้วยดี ผู้เขียนขอกราบขอบพระคุณ มหาวิทยาลัยเทคโนโลยีราชมงคลรุจุนเทพ ที่ได้พิจารณาโครงการวิจัยทุนสนับสนุนงานวิจัยของมหาวิทยาลัยเทคโนโลยีราชมงคลรุจุนเทพในปี พ.ศ. 2552

ขอบคุณ กองคลัง ที่ได้ช่วยเหลือแนะนำเรื่องของการเงิน ที่ได้อ่านวิเคราะห์ความสะดวก และคำแนะนำที่เป็นอย่างดี

ขอบคุณ ดร.จิราภรณ์ สัพทานนท์ รองอธิการบดี และ พศ.ปราโมทย์ อันันต์ราษฎร์ พร้อมทั้ง ทีมงานของสถาบันวิจัยและพัฒนา ผู้ที่ได้ให้โอกาสในการเข้าร่วมกิจกรรมดี ๆ ของสถาบันวิจัยและพัฒนา ด้วยดีเสมอมา

ขอบคุณ ดร.นิศากร วัฒนศิริพงษ์ ที่ค่อยเป็นกำลังใจ และช่วยพิจารณางานวิจัย



บทคัดย่อ

งานวิจัยนี้ได้ทำการศึกษาทดลองการผลิตไฟฟ้าโดยใช้เทอร์โนมอเล็กตริกจำนวน 4 โมดูล (Taihuxing , Chaina model TEP1 – 1264 – 3.4) ติดกับเตาเครื่องเผา ก็จะเพื่อใช้ความร้อนที่จากเตาเครื่องเผา มาทำการผลิตไฟฟ้า ด้านร้อนของเทอร์โนมอเล็กตริกติดตั้งกับปล่องควันที่ติดกับด้านข้างของเตาเครื่องเผา และด้านเย็นติดตั้งกับเครื่องแยกเปลี่ยนความร้อนแบบครึ่งสีเหลี่ยมผืนผ้า ในการศึกษาทดลองได้ปรับเปลี่ยนเงื่อนไขการทำงานของระบบ เพื่อหาค่ากำลังไฟฟ้าสูงสุด โดยการปรับเปลี่ยนค่าความร้อนที่ห้ำยให้กับเทอร์โนมอเล็กตริก และการปรับค่าความด้านทานต่าง ๆ ผลกระทบการทดลองพบว่าที่อุณหภูมิความร้อนในแผ่นความร้อน 200°C จะให้กำลังไฟฟ้าสูงสุด 4.5 W ประสิทธิภาพการแปลงความร้อนเป็นกระแสไฟฟ้าเป็น 11.9% กระแสไฟฟ้า 0.84 A แรงดันไฟฟ้าเป็น 5.35 V ประสิทธิภาพการใช้งานของเตาเป็น 23.20% และเมื่อรวมพลังงานจากการผลิตไฟฟ้าจากเทอร์โนมอเล็กตริกและในการใช้งานเตาเครื่องเผาจะมีประสิทธิภาพ 23.39%

Abstract

The objective of this work is study the power generation using thermoelectric 4 module (Taihuxing , Chaina model TEP1 – 1264 – 3.4). This module was installed to the stove for generating power from waste heat of stove. The hot side of thermoelectric attach to the iron plate beside the stove and cool side join with the rectangular fin heat exchanger. In order to obtain the maximum electric power, the experiments were designed by varying the input heat for thermoelectric and adjusting the resistance. The experimental results show that the hot plate temperature of 200 °C provides the maximum power to 4.5 W , the thermoelectric efficiency to 11.9 % (at the current of 0.84 A and the voltage of 5.35 V), the stove and thermoelectric efficiency to 23.39 %.

สารบัญ

	หน้า
กิตติกรรมประกาศ	๑
บทคัดย่อภาษาไทย	๒
บทคัดย่อภาษาอังกฤษ	๓
สารบัญ	๔
สารบัญตาราง	๕
สารบัญภาพ	๖
บทที่	๗
1 บทนำ	1
1.1 ความเป็นมาและความสำคัญของปัจจุบัน	2
1.2 วัตถุประสงค์ของการวิจัย	2
1.3 ขอบเขตของการวิจัย	2
1.4 ขั้นตอนและวิธีดำเนินการวิจัย	2
1.5 ประโยชน์ที่คาดว่าจะได้รับจากการวิจัย	2
1.6 เอกสารและงานวิจัยที่เกี่ยวข้อง	2
2 การดำเนินไฟฟ้าจากอุปกรณ์เทอร์โมอิเล็กทริก	4
2.1 เทอร์โมอิเล็กทริกไมดูล	4
2.1.1 ประวัติและการศึกษาพนเทอร์โมอิเล็กทริกไมดูล	4
2.1.2 หลักการทำงานของเทอร์โมอิเล็กทริกไมดูล	5
2.1.3 ลักษณะการเชื่อมต่อของสารกึ่งตัวนำ	6
2.1.4 ลักษณะของเทอร์โมอิเล็กทริกไมดูล	8
2.1.4.1 เทอร์โมอิเล็กทริกแบบชั้นเดียว	8
2.1.4.2 เทอร์โมอิเล็กทริกแบบหลายชั้น	8
2.2 การผลิตไฟฟ้าจากเทอร์โมอิเล็กทริก	10
2.3 วิเคราะห์ประสิทธิภาพการใช้งานเตาครมภูมิ	11
2.4 แหล่งความร้อนเหลือทิ้ง	11
2.4.1 ที่มาของความร้อนเหลือทิ้ง	11
2.4.2 ระดับอุณหภูมิของแหล่งความร้อนเหลือทิ้ง	12

3	ขั้นตอนการดำเนินงานวิจัย	14
3.1	เครื่องต้นแบบ	14
3.2	การติดตั้งเทอร์โมอิเล็กตริก	14
3.3	การติดตั้งสายเทอร์โมคัปเปิล	17
3.4	วิธีการทดสอบ	14
3.5	อุปกรณ์ที่ใช้ในงานวิจัย	15
4	ผลการดำเนินงานและผลการวิจัย	23
4.1	ผลของความแตกต่างระหว่างอุณหภูมิต้านร้อนกับต้านเย็นของเทอร์โมอิเล็กตริก	24
4.2	ผลของความสัมพันธ์ระหว่างความต้านทานที่ให้และกำลังไฟฟ้าที่ได้	24
5	สรุปผลและข้อเสนอแนะ	27
5.1	สรุปผล	27
5.2	วิจารณ์ผลการวิจัย	27
5.3	ข้อเสนอแนะ	28
	บรรณานุกรม	29
	ภาคผนวก	30
	ภาคผนวก ก อุณหภูมิต่าง ๆ ในการทดสอบประสิทธิภาพเตาเศรษฐกิจ	31
	ภาคผนวก ข ตัวอย่างการคำนวณทางไฟฟ้า	34
	ภาคผนวก ค ตัวอย่างการทดสอบเตาเศรษฐกิจ	36
	ภาคผนวก ง การคำนวณหาประสิทธิภาพของการเปลี่ยนพลังงานความร้อนเป็นพลังงานไฟฟ้าโดยใช้เทอร์โมอิเล็กตริก	39
	ภาคผนวก จ ประวัตินักวิจัย	44

สารบัญตาราง

ตาราง	หน้า
ตารางที่ 2.1 ระดับอุณหภูมิของเหลวความร้อนเหลือองทั้งเกรดสูง	13
ตารางที่ 2.2 ระดับอุณหภูมิของเหลวความร้อนเหลือองทั้งเกรดปานกลาง	13
ตารางที่ 2.3 ระดับอุณหภูมิของเหลวความร้อนเหลือองทั้งเกรดต่ำ	13
ตารางที่ 3.1 อุณหภูมิต่าง ๆ ในการทดสอบประสิทธิภาพเตา	32



สารบัญภาพ

ภาพประกอบ	หน้า
ภาพที่ 2.1 ลักษณะการต่อวงจรของไฟเบอร์	4
ภาพที่ 2.2 ลักษณะการต่อวงจรของเพลทีเยอร์	5
ภาพที่ 2.3 ลักษณะการให้แสงอิเล็กตรอนของวัสดุกึ่งตัวนำแบบเย็น	5
ภาพที่ 2.4 ลักษณะการให้แสงໂຄดของวัสดุกึ่งตัวนำแบบพี	6
ภาพที่ 2.5 ลักษณะการเชื่อมต่อของวัสดุกึ่งตัวนำแบบชนิดเย็นต่อขานานกัน	6
ภาพที่ 2.6 ลักษณะการต่อเชื่อมของสารกึ่งตัวนำแบบชนิดเย็นต่ออยุกรุนกัน	7
ภาพที่ 2.7 ลักษณะการต่อเชื่อมของสารกึ่งตัวนำของชุดเทอร์โมอิเล็กตริก	7
ภาพที่ 2.8 เทอร์โมอิเล็กตริกแบบชิ้นเดียว	8
ภาพที่ 2.9 เทอร์โมอิเล็กตริกแบบหลายชิ้น	9
ภาพที่ 2.10 ความร้อนเหลือทั้งจากการใช้พลังงานแหล่งต่าง ๆ	12
ภาพที่ 3.1 เทอร์โมอิเล็กตริกโมดูล	14
ภาพที่ 3.2 ตัวนประกอบต่าง ๆ ของระบบผลิตไฟฟ้า	15
ภาพที่ 3.3 การติดเทอร์โมอิเล็กตริกกับเตาเศรษฐกิจ	16
ภาพที่ 3.4 การติดตั้งสายเทอร์โมคัปเปลลที่ชุดต่าง ๆ	18
ภาพที่ 3.5 สายเทอร์โมคัปเปลลแบบแค	19
ภาพที่ 3.6 เครื่องบันทึกข้อมูลตั้โนมัติ	19
ภาพที่ 3.7 เครื่องวัดความเร็วลม	20
ภาพที่ 3.8 เครื่องวัดมัลติมิเตอร์	20
ภาพที่ 3.9 แผ่นทำความร้อน	21
ภาพที่ 3.10 หม้อแปลงปรับแรงดัน	21
ภาพที่ 3.11 เครื่องวัดความร้อนสูญเสีย	22
ภาพที่ 4.1 การเปลี่ยนแปลงอุณหภูมิความร้อนในเตา แผ่นเหล็ก เครื่องแลกเปลี่ยนความร้อน และอาการระหว่างรับน้ำยาความร้อนกับเวลา	23
ภาพที่ 4.2 การเปลี่ยนแปลงของกำลังไฟฟ้ากับความแตกต่างระหว่างอุณหภูมิต้านร้อน และด้านเย็นของเทอร์โมอิเล็กตริก	24
ภาพที่ 4.3 ภาพความสัมพันธ์ระหว่างความต้านทานที่ใช้และกำลังไฟฟ้า ที่ได้มีอุณหภูมิที่ 75 °C 120 °C และ 200 °C	25
ภาพที่ 4.4 ความสัมพันธ์ระหว่าง อุณหภูมิด้านร้อนของเทอร์โมอิเล็กตริกกับความร้อน	25
ภาพที่ 4.5 ความสัมพันธ์ระหว่างอุณหภูมิด้านร้อนของเทอร์โมอิเล็กตริกกับประสิทธิภาพของระบบ	26

บทที่ 1

บทนำ

1.1 ความเป็นมาและความสำคัญของปัญหา

ในปัจจุบันปัญหาความต้องการพลังงานของประเทศไทยแนวโน้มที่จะสูงขึ้นอย่างต่อเนื่องทำให้เกิดปัญหาด้านการอนุรักษ์พลังงานและสิ่งแวดล้อมและการหาแหล่งพลังงานสำรอง เพื่อรับรับแนวโน้มความต้องการพลังงานที่เพิ่มขึ้น จากปัญหาดังกล่าวจึงก่อให้เกิดการคิดค้นเทคโนโลยีต่าง ๆ เพื่อแก้ไขปัญหาที่เกิดขึ้น เทคโนโลยีหนึ่งที่น่าสนใจคือเทคโนโลยีเทอร์โมอิเล็กตริก โดยการนำความร้อนทึ้งมาเป็นแหล่งจ่ายพลังงานให้กับเทอร์โมอิเล็กตริก

เทอร์โมอิเล็กตริกเป็นสารกึ่งตัวนำที่ประกอบด้วยขั้ว N และ P ซึ่งต่อ กันแบบอนุกรมทางไฟฟ้า และแบบขนานทางความร้อน สารกึ่งตัวนำที่ใช้ผลิตเทอร์โมอิเล็กตริกมีหลายชนิด เทอร์โมอิเล็กตริกสามารถทำหน้าที่ได้ทั้งทำความเย็นและผลิตกระแสไฟฟ้า ในด้านการทำความเย็นเมื่อจ่ายไฟฟ้ากระแสตรงให้เทอร์โมอิเล็กตริก ๆ จะทำหน้าที่เหมือนปั๊มความร้อนดูดความร้อนที่ด้านหนึ่ง ดันน้ำเพื่อเพิ่มประสิทธิภาพการถ่ายเทาระบบความร้อนจึงต้องต่อเครื่อง栗กเปลี่ยนความร้อนให้กับเทอร์โมอิเล็กตริกทั้งด้านร้อนและด้านเย็น จะทำให้เกิดการผลิตกระแสไฟฟ้าโดยการต่อภาระทางไฟฟ้าให้กับระบบ จากหลักการดังกล่าวสามารถนำเทอร์โมอิเล็กตริกมาใช้เป็นเครื่องกำเนิดไฟฟ้าได้โดยใช้ความร้อนทึ้ง ซึ่งเป็นพลังงานทางเลือกที่ไม่ต้องซื้อหานอกและไม่ทำลายสภาวะแวดล้อมอีกด้วย

จากการศึกษาพบว่ามีการนำเทอร์โมอิเล็กตริกมาผลิตไฟฟ้าโดยใช้ความร้อนทึ้งเป็นแหล่งจ่ายพลังงาน [1] ได้ศึกษาการนำความร้อนจากไอลีบ ของก้าชที่เผาไหม้จากเตาในโรงงานอุตสาหกรรมมาให้ความร้อนกับเทอร์โมอิเล็กตริกจำนวน 5 โมดูล สามารถผลิตไฟฟ้าได้ 27.6 วัตต์ ที่ความแตกต่างระหว่างอุณหภูมิด้านร้อนและด้านเย็นของเทอร์โมอิเล็กตริกเท่ากับ 150°C [2] ได้ออกแบบและสร้างเครื่องผลิตกระแสไฟฟ้าแบบเทอร์โมอิเล็กตริกโดยใช้ความร้อนของการเผาไหม้ก้าชที่ใช้ในการต้มน้ำร้อน โดยเทอร์โมอิเล็กตริกสามารถแปลงความร้อนได้ 5 % ความร้อนที่เหลืออีก 95 % ถูกส่งไปให้ความร้อนกับน้ำ ใน การออกแบบนี้ใช้ในเทอร์โมอิเล็กตริกจำนวน 2 โมดูล และใช้น้ำเป็นสารระบายความร้อนออกจากเทอร์โมอิเล็กตริก พนว่าที่ความแตกต่างระหว่างอุณหภูมิด้านร้อนและด้านเย็นของเทอร์โมอิเล็กตริกเท่ากับ 500°C เทอร์โมอิเล็กตริกผลิตกระแสไฟฟ้าได้ 50 วัตต์ ในด้านของต้นทุนของเทอร์โมอิเล็กตริกต่อหน่วยการผลิตไฟฟ้า (วัตต์) สำหรับ [3] เทอร์โมอิเล็กตริก 2 โมดูลที่แตกต่างกับ 16 โมดูล จาก 9 โรงงาน พนว่ามีค่าประมาณอยู่ระหว่าง 3600 บาทต่อวัตต์ ถึง 180 บาทต่อวัตต์ ซึ่งต้นทุนส่วนใหญ่จะอยู่ที่เทอร์โมอิเล็กตริก 2 โมดูลประมาณ 80 % ของต้นทุนทั้งระบบ

ในงานวิจัยนี้จึงมีแนวทางในการศึกษาถึงความเป็นไปได้ในการนำความร้อนทึ่งจากเตาเศรษฐกิจมาเป็นแหล่งให้พลังงานแก่เทอร์โมอิเล็กตริก โดยจะติดตั้งด้านร้อนของเทอร์โมอิเล็กตริกไว้ที่ปล่องระบายความร้อนขณะที่ด้านเย็นติดตั้งเครื่องแยกเปลี่ยนความร้อนด้วยระบบระบายความร้อน โดยทำการทดลองทำกำลังไฟฟ้าสูงสุดของระบบและประสิทธิภาพในการแปลงพลังงานของเทอร์โมอิเล็กตริก

1.2 วัตถุประสงค์ของการวิจัย

1. เพื่อเรียนรู้เกณฑ์โดยการผลิตไฟฟ้าจากเทอร์โมอิเล็กตริก
2. เพื่อนำความร้อนเหลือที่หลังบ้านมาใช้ประโยชน์ ซึ่งเป็นการอนุรักษ์พลังงานอีกแนวทางหนึ่ง

1.3 ขอบเขตของการวิจัย

1. ในการทดลองนี้จะทำการทดลองจากเครื่องต้นแบบซึ่งใช้ความร้อนเหลือที่จากเตาเศรษฐกิจที่ใช้ถ่านเป็นเชื้อเพลิง
2. ใช้เทอร์โมอิเล็กตริกเป็นตัวผลิตกระแสไฟฟ้า

1.4 ขั้นตอนและวิธีดำเนินการวิจัย

1. ศึกษาค้นคว้าข้อมูลจากเอกสารที่เกี่ยวข้อง
2. ทดสอบหาคุณลักษณะของเทอร์โมอิเล็กทริกคูลเลอร์
3. ออกแบบและสร้างระบบถ่ายเทความร้อนให้ได้ประสิทธิภาพสูง
4. ออกแบบและสร้างเครื่องกำเนิดไฟฟ้าจากเทอร์โมอิเล็กตริกคูลเลอร์
5. บันทึกการทำงานของระบบโดยการเปลี่ยนแปลงพารามิเตอร์ต่าง ๆ ได้แก่ความร้อนที่ให้กับเทอร์โมอิเล็กตริกไม่ดูด และปรับกระแสความต้านทานทางไฟฟ้า
6. สรุปผลและเขียนรายงาน

1.5 ประโยชน์ที่คาดว่าจะได้รับจากการวิจัย

1. ทราบถึงการผลิตกระแสไฟฟ้าจากเทอร์โมอิเล็กตริก
2. นำความร้อนทึ่งจากเตาเศรษฐกิจมาใช้ประโยชน์โดยการผลิตกระแสไฟฟ้า

1.6 เอกสารและงานวิจัยที่เกี่ยวข้อง

1. ปี พ.ศ. 2535 Bass, J.C. ; Elsner, N.B. และ Leavitt, F.A. ได้ทำงานวิจัยร่วมกับกระทรวง พลังงานของสหรัฐ ตั้งแต่ พ.ศ. 2535 เพื่อพัฒนาระบบกำเนิดไฟฟ้าแบบเทอร์โมอิเล็กทริกที่ความร้อนมา

จากท่อไอเสียอบบรรทุกตู้สินค้า สามารถผลิตไฟฟ้ากลับคืนได้ 1000 วัตต์ โดยใช้เทอร์โนอิเล็กทริกขนาด 13 วัตต์ จำนวน 72 เซลล์ ซึ่งรูปแบบการจัดเรียงและจำนวนเซลล์คงที่ตลอดการทดสอบ

2. ปี พ.ศ. 2536 Allen, D. ; Haugeto, R. ; Kajor M. และ Namazizn, M. ได้พัฒนาระบบผลิตไฟฟ้าด้วยอุปกรณ์เทอร์โนอิเล็กทริกโดยการใช้ความร้อนจากการเผาไหม้ของเชื้อเพลิงดีเซล เพื่อจะใช้แทนแบตเตอรี่หรือใช้เป็นที่ชาร์จแบตเตอรี่ ระบบผลิตไฟฟ้ามีขนาดตั้งแต่ 0.3 วัตต์ถึง 20 วัตต์ แบตเตอรี่ชนิดนี้ข้อได้เปรียบที่เซลล์ความร้อนสามารถทำงานด้วยความร้อนที่อุณหภูมิต่ำๆ ได้ และยังพร้อมที่จะพัฒนาให้มีประสิทธิภาพเพิ่มขึ้นได้ในอนาคต

3. ปี พ.ศ. 2537 Bass, J.C. และ Farley, R.L. ได้ทำการทำวิจัยและพัฒนาระบบท่อร์โนอิเล็กทริกเจนเนอเรเตอร์ที่ใช้ความร้อนจากระบบส่งก๊าซธรรมชาติ โดยอาศัยความแตกต่างของอุณหภูมิระหว่างท่อค่านร้อนและเย็นของ glycol natural gas dehydrator cycle ซึ่งเกิดจากความร้อนเหลือทิ้งของระบบ gas dehydrator boiler ความร้อนประมาณ 125,000 Btu สามารถผลิตไฟฟ้าได้ระหว่าง 66-293 kW สามารถนำไปใช้กับอุปกรณ์ทางค้านสื่อสารและระบบป้องกันการกัดกร่อนของท่อส่งก๊าซ

4. ปี พ.ศ. 2543 Allen, D. และ Mallon, W.C. ได้ทำการวิจัยโดยการนำความร้อนจากน้ำไหลงรีบนของระบบทำน้ำร้อนเพื่อความอบอุ่นในดูดหน้ามานำผลิตไฟฟ้าด้วยเซลล์ความร้อน และแปลงผันไฟฟ้ากระแสตรงเป็นไฟฟ้ากระแสสลับ พลังงานความร้อนปริมาณ 22 kW (75,000 Btu/hr) สามารถผลิตไฟฟ้าได้ 55-60 W การผลิตไฟฟ้านี้เป็นที่นิยมในประเทศไทยและญี่ปุ่นในช่วงฤดูหนาว ถือเป็นการช่วยประหยัดพลังงาน โดยเฉพาะในประเทศไทยและญี่ปุ่น ซึ่งเชื้อเพลิงในการผลิตไฟฟ้ามีราคาค่อนข้างแพง



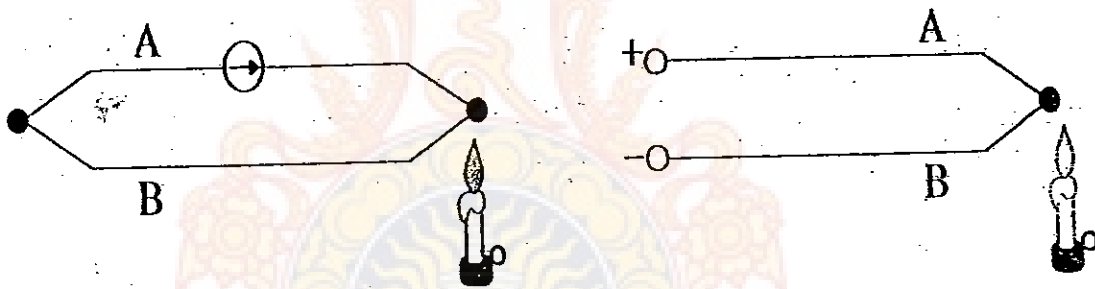
บทที่ 2

การกำหนดไฟฟ้าจากอุปกรณ์เทอร์โมอิเล็กทริก

2.1 เทอร์โมอิเล็กทริกโมดูล

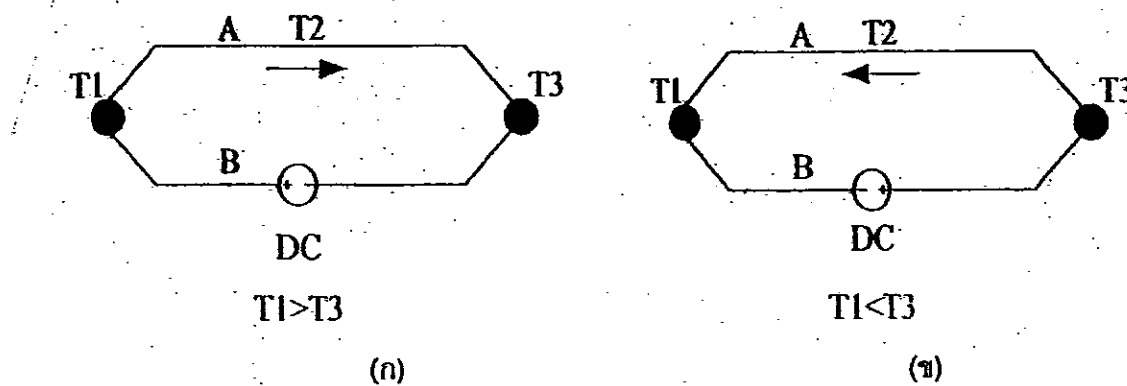
2.1.1 ประวัติและการทันพนเทอร์โมอิเล็กทริกโมดูล

ในยุคดั้นคนตัวรرمที่ 19 ปี ก.ศ. 1821 นักวิทยาศาสตร์ชาวเยอรมัน โธมัส ซีเบ็ค (Thomas Seebeck) ทำการศึกษาพบว่าเมื่อนำขดลวดโลหะ 2 เส้นที่ทำด้วยโลหะต่างชนิดกันมา เชื่อมต่อปลายทั้งสองเข้าด้วยกัน ถ้าปลายจุดต่อทั้งสองมีอุณหภูมิแตกต่างกัน จะเกิดกระแสไฟฟ้าไหลในวงจรเส้นลวดทั้งสอง ดังภาพ 2.1 ซึ่งปริมาณการไหลของกระแสไฟฟ้าในวงจรนั้นจะเปลี่ยนแปลงไปตามผลต่างของอุณหภูมิที่ปลายจุดต่อทั้งสอง หากที่ปลายของจุดต่อทั้งสองคือที่โลหะ A และโลหะ B มีอุณหภูมิแตกต่างกันมาก ปริมาณการไหลของกระแสไฟฟ้าในวงจรดังกล่าวก็จะสูงตามไปด้วย และถ้าเปิดปลายจุดต่อด้านหนึ่งออก จะทำให้เกิดแรงเคลื่อนไฟฟ้าที่ปลายด้านเปิด แรงเคลื่อนไฟฟ้านี้เรียกว่า “ซีเบ็คโวลาเจ” [4]



ภาพที่ 2.1 ลักษณะการต่อวงจรของซีเบ็ค

ต่อมาในปี ก.ศ. 1834 แพลเตียร์ (Jean C.A. Peltier) นักวิทยาศาสตร์ชาวฝรั่งเศสได้ทำการศึกษาในลักษณะเดียวกันกับวงจรที่ทางซีเบ็คสร้างขึ้น และพบว่าเมื่อมีการผ่านกระแสไฟฟ้าเข้าไปในวงจร ลักษณะเดียวกันนี้ โดยใช้จุดด้านหนึ่งทำการบีบมัดและอีกด้านหนึ่งท้าจากแอนติโนนิ จะทำให้อุณหภูมิที่ปลายจุดต่อของทั้ง 2 จุด คือที่จุดต่อ T1 และที่จุดต่อ T3 มีอุณหภูมิแตกต่างกัน โดยปลายข้างหนึ่งจะร้อนขึ้น และปลายอีกข้างหนึ่งจะเย็นลง ดังภาพที่ 2.2

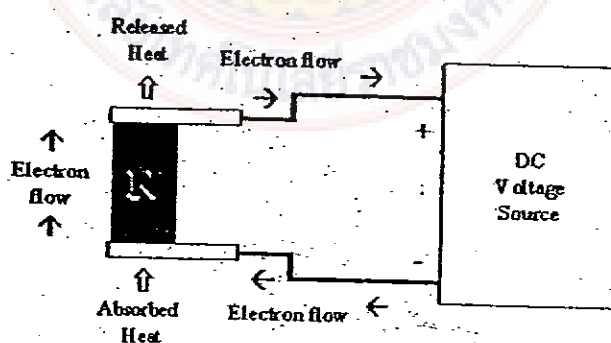


ภาพที่ 2.2 ลักษณะการต่อวงจรของเพลทีเยอร์

เมื่อมีการป้อนกระแสไฟฟ้าจากแหล่งจ่ายภายนอกให้หล่อผ่านเข้าไปในวงจรดังภาพที่ 2.2 (a) จะทำให้จุดต่อ T1 มีอุณหภูมิสูงกว่าจุดต่อ T3 และในทางกลับกัน เมื่อมีการป้อนกระแสไฟฟ้าจากแหล่งจ่ายภายนอกให้หล่อผ่านเข้าไปในวงจร ดังภาพที่ 2.2 (b) จะทำให้จุดต่อ T3 มีอุณหภูมิสูงกว่าจุดต่อ T1 ซึ่งจาก การค้นพบของชีบีคและเพลทีเยอร์ทำให้การศึกษาด้านควाईกับไหอร์โนอิเล็กทริก (thermoelectric, TE) พัฒนาขึ้นและเป็นไปอย่างกว้างขวาง

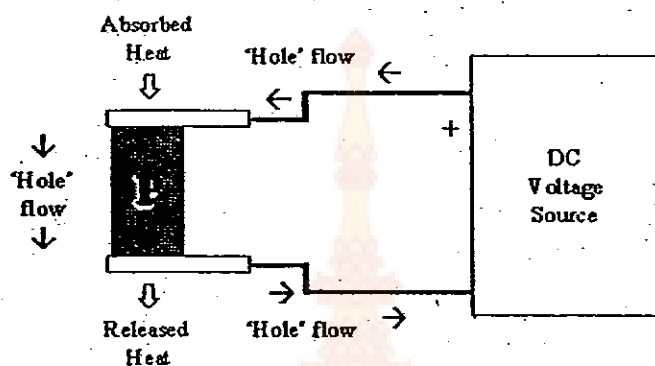
2.1.2 หลักการทำงานของเทอร์โมอิเล็กทริกโมดูล

ไหอร์โนอิเล็กทริกโมดูล สร้างจากวัสดุประดิษฐ์สารกึ่งตัวนำ (semiconductor) โดยเมื่อป้อนไฟฟ้ากระแสตรงให้กับไหอร์โนอิเล็กทริกโมดูลที่ใช้สารกึ่งตัวนำแบบชนิดพี-เอ็น (P-N type) กระแสไฟฟ้าที่ไหลผ่านวัสดุที่ทำการสารกึ่งตัวนำต่างชนิดกัน ส่งผลให้เกิดแรงดันทางไฟฟ้า และทำให้มีความแตกต่างกันของอุณหภูมิเกิดขึ้นระหว่างขั้วทั้งสอง โดยเมื่อป้อนแรงดันไฟฟ้าให้หล่อผ่านสารกึ่งตัวนำแบบชนิดเอ็น (N type) [5] ดังภาพที่ 2.3 จะเกิดการไหลของอิเล็กตรอนจากทางขั้วลบของแหล่งจ่ายไฟฟ้าไปยังขั้วบวกของแหล่งจ่ายไฟฟ้า และในขณะเดียวกันก็จะเกิดการดูดกลืนความร้อน (absorbed heat) จากค่านลบท่องสารกึ่งตัวนำไปประจำความร้อนออก (released heat) ที่ปลายด้านบนของสารกึ่งตัวนำ [6]



ภาพที่ 2.3 ลักษณะการไหลของอิเล็กตรอนของวัสดุกึ่งตัวนำแบบเอ็น

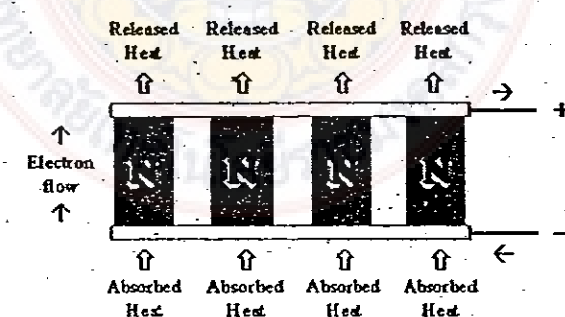
ลักษณะการไหลของไฮดรอกซิลิกอนสารกึ่งตัวนำแบบพี ดังภาพที่ 2.4 จะมีลักษณะการไหลในพิศทางตรงกันข้ามกับการไหลของอิเล็กตรอนของสารกึ่งตัวนำแบบชนิดเงิน คือเมื่อมีการป้อนกระแสไฟฟ้าเข้าสู่สารกึ่งตัวนำแบบชนิดพีนั้นจะเกิดการไหลของไฮดรอกซิลิกอนทางด้านขึ้นบวกไปยังขั้วลบ และเกิดการดูดกลืนความร้อนจากทางประจุบวกของสารกึ่งตัวนำแบบชนิดพีแล้วไปประนัยความร้อนออกที่ทางด้านประจุลบ จึงได้มีการนำเอาข้อดีสารกึ่งตัวนำทั้งสองมาใช้รวมกันในชุดของเทอร์โมอิเล็กตริกโมดูล



ภาพที่ 2.4 ลักษณะการไหลของไฮดรอกซิลิกอนวัสดุกึ่งตัวนำแบบพี

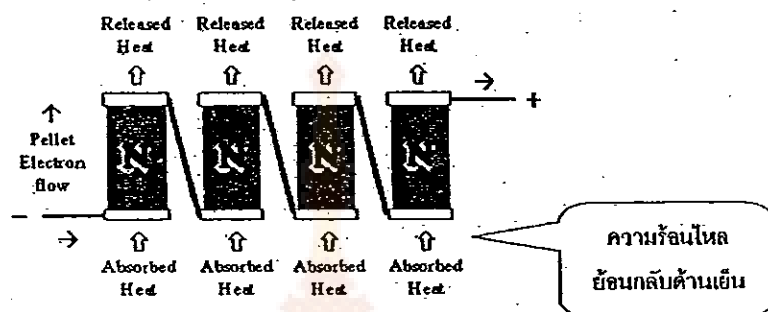
2.1.3 ลักษณะการเชื่อมต่อของสารกึ่งตัวนำ

หากต้องการนำเทอร์โมอิเล็กตริกโมดูลมาใช้ในการทำความเย็นหรือความร้อน การนำสารกึ่งตัวนำแบบชนิดเงินหลายตัวมาต่อข้างกันนั้นก็ทำได้ง่ายมาก ดังภาพที่ 2.5 การไหลของพิศทางของด้านร้อนและด้านเย็นก็สามารถที่จะควบคุมได้ง่าย แต่ด้วยข้อจำกัดที่ว่า สารกึ่งตัวนำแบบชนิดเงินนั้นมีแรงคลื่อนไฟฟ้าต่ำกว่าประมาณ 10 mV ต่อหนึ่งชุด



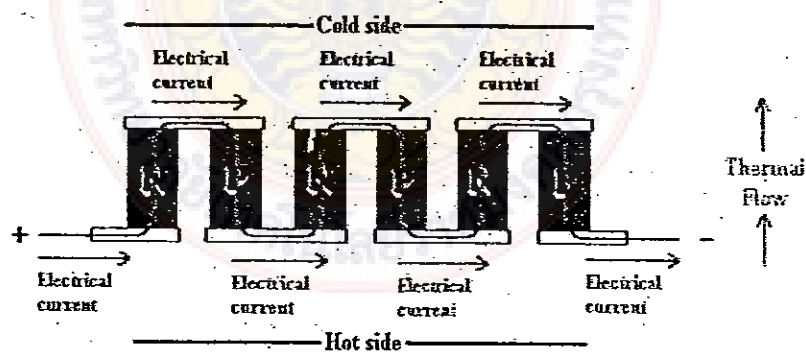
ภาพที่ 2.5 ลักษณะการเชื่อมต่อของวัสดุกึ่งตัวนำแบบชนิดเงินต่อข้างกัน

ดังนั้นหากต้องการให้ไฟฟ้าได้ตามต้องการ จึงต้องมีนำวัสดุกึ่งตัวนำแบบชนิดอิเล็กทรอนิกส์ ที่ชุดมาต่ออนุกรมกัน [7] ดังภาพที่ 2.6 แต่ข้อเสียของการนำวัสดุกึ่งตัวนำแบบชนิดอิเล็กทรอนิกส์ คือตัวนำกันน้ำจะยากในการควบคุมทิศทางของค้านร้อนและค้านเย็น ความร้อนส่วนหนึ่งจะไหลย้อนกลับมาทางค้านเย็นตามสายต่อระหว่างประจุบวกและประจุลบของวัสดุกึ่งตัวนำการต่อ หรือเรียกว่าการสั่นงงของความร้อนซึ่งเป็นการขาดที่จะป้องกันการไหลย้อนกลับของความร้อน [8]



ภาพที่ 2.6 ลักษณะการต่อเชื่อมของสารกึ่งตัวนำแบบชนิดอิเล็กทรอนิกส์ต่ออนุกรมกัน

การเชื่อมต่อที่มีประสิทธิภาพที่สูงสุดคือ การเชื่อมต่อของสารกึ่งตัวนำแบบชนิดอิเล็กทรอนิกส์และแบบชั้นดีพี ลักษณะการต่อเป็นคู่ ๆ แบบอนุกรมและแบบขนาน โดยทางด้านไฟฟ้าเป็นการต่อแบบอนุกรม เพื่อให้ได้ขนาดของพลังงานไฟฟ้าที่เหมาะสมกับความต้องการ สำหรับการทำความเย็นและความร้อนเป็นการเชื่อมต่อแบบขนานเพื่อเพิ่มความสามารถในการทำความเย็น ได้ดังนี้ ดังภาพที่ 2.7

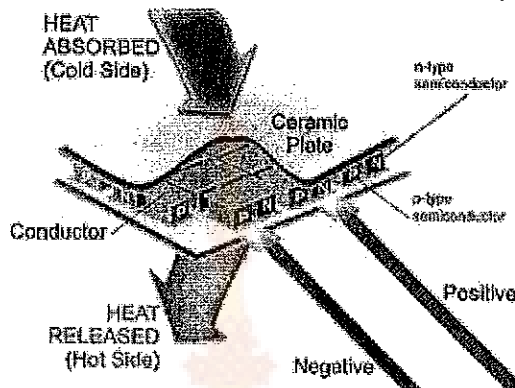


ภาพที่ 2.7 ลักษณะการต่อเชื่อมของสารกึ่งตัวนำของชุดเทอร์โมอิเล็กทริก

2.1.4 ลักษณะของเทอร์โมอิเล็กตริกโมดูล

เทอร์โมอิเล็กตริกโมดูลสามารถแบ่งออกตามลักษณะได้สองแบบ คือ

2.1.4.1 เทอร์โมอิเล็กตริกแบบชั้นเดียว (Single-Stage Peltier Module) มีส่วนประกอบที่สำคัญ ดังภาพที่ 2.8



ภาพที่ 2.8 เทอร์โมอิเล็กตริกแบบชั้นเดียว

เทอร์โมอิเล็กตริกโมดูลแบบชั้นเดียว เป็นเทอร์โมอิเล็กตริกที่มีผลต่างของอุณหภูมิด้านร้อนกับด้านเย็นในการใช้งานไม่สูง ซึ่งมีค่าอุณหภูมิแตกต่างประมาณ 67°C ซึ่งเป็นค่าผลต่างของอุณหภูมิในขณะที่ไม่มีการควบคุมร้อน ลักษณะของเทอร์โมอิเล็กตริกมีหลายรูปแบบ ทั้งขนาดและรูปร่าง อีกทั้งมีสมบัติหลากหลาย ให้เลือกตามลักษณะการใช้งาน เช่น ค่ากระแสไฟฟ้า ค่าแรงดันไฟฟ้า และความสามารถในการถ่ายเทความร้อน เป็นต้น โดยสามารถสรุปลักษณะและสมบัติได้ดังนี้คือ

- 1) ขนาดพื้นที่ผิวน้ำเชรามิก $1.8 \times 3.4 \text{ mm}^2$ ถึง $62 \times 62 \text{ mm}^2$
- 2) ขนาดความสูงตั้งแต่ 2.54 mm ถึง 5.8 mm
- 3) ค่าการถ่ายเทความร้อนสูงสุดตั้งแต่ 0.2 Watts ถึง 125 Watts
- 4) ค่ากระแสสูงสุดตั้งแต่ 0.8 Amp ถึง 60 Amp
- 5) ค่าแรงดันสูงสุดตั้งแต่ 0.4 Volts ถึง 15.4 Volts

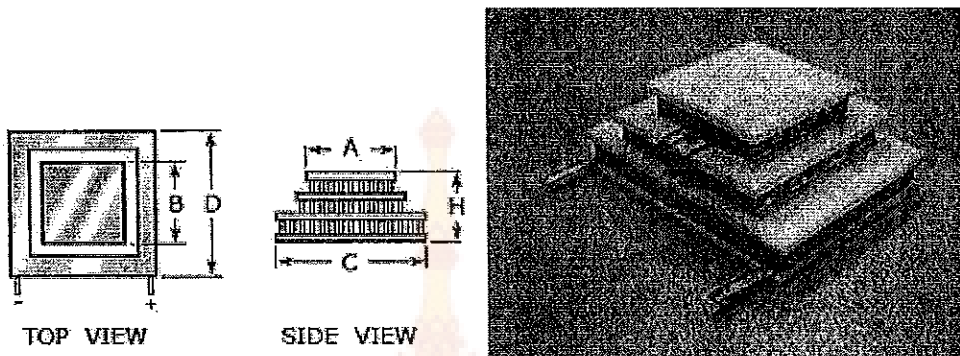
2.1.4.2 เทอร์โมอิเล็กตริกแบบหลายชั้น (Multistage Thermoelectric Module) เทอร์โมอิเล็กตริกแบบหลายชั้นจะมีการต่อตัวตัวต่อๆ กัน ลักษณะของเทอร์โมอิเล็กตริกแบบหลายชั้น ดังภาพที่ 2.9 ลักษณะและสมบัติของเทอร์โมอิเล็กตริกแบบหลายชั้นที่สำคัญคือ

- 1) พื้นที่ผิวด้านเย็นมีขนาดตั้งแต่ $3.2 \times 3.2 \text{ mm}^2$ ถึง $62 \times 62 \text{ mm}^2$
- 2) พื้นที่หน้าตัดด้านร้อนขนาดตั้งแต่ $3.8 \times 3.8 \text{ mm}^2$ ถึง $62 \times 62 \text{ mm}^2$
- 3) ขนาดความสูงตั้งแต่ 3.8 mm ถึง 21.4 mm
- 4) ค่าการถ่ายเทความร้อนสูงสุดตั้งแต่ 0.39 Watts ถึง 59 Watts

5) ค่ากระแสสูงสุดตั้งแต่ 0.7 Amp ถึง 9.5 Amp

6) ค่าแรงดันสูงสุดตั้งแต่ 0.8 Volts ถึง 14 Volts

ซึ่งจำนวนชั้นของเทอร์โมอิเล็กตริกแบบหลายชั้น มีการเรื่องต่อตั้งแต่ 2 ชั้น จนถึง 6 ชั้น



ภาพที่ 2.9 เทอร์โมอิเล็กตริกแบบหลายชั้น

ก่อนการเลือกใช้เทอร์โมอิเล็กตริกไม่ดูด ควรมีการหาค่าตัวแปรที่สำคัญเบื้องต้น 3 อาย่าง คือ อุณหภูมิด้านเย็นของเทอร์โมอิเล็กตริก (cold surface temperature, T_c) อุณหภูมิด้านร้อนของเทอร์โมอิเล็กตริก (hot surface temperature, T_h) และปริมาณความร้อนที่ต้องการถ่ายเทออกที่ผิวค้างเย็นของเทอร์โมอิเล็กตริก เพื่อเป็นข้อมูลในการเลือกใช้เทอร์โมอิเล็กตริกไม่ดูดที่เหมาะสมตามต่อไป การถ่ายเทความร้อนที่ด้านร้อนของเทอร์โมอิเล็กตริก มีความสำคัญต่อการทำความเย็นของเทอร์โมอิเล็กตริกมาก เพราะถ้าไม่สามารถถ่ายเทความร้อนที่ด้านร้อนของเทอร์โมอิเล็กตริกออกได้ ด้านเย็นของเทอร์โมอิเล็กตริกก็จะไม่สามารถเย็นลงได้ โดยตัวแปรที่สำคัญในการถ่ายเทความร้อนของเทอร์โมอิเล็กตริกค้างร้อน คือ อุณหภูมิแวดล้อมที่รองรับความร้อนที่ถ่ายเทจากเทอร์โมอิเล็กตริก และประสิทธิภาพที่ของอุปกรณ์แลกเปลี่ยนความร้อน

2.2 การผลิตไฟฟ้าจากเทอร์โมอิเล็กตริก

สมการที่ใช้ในการคำนวณหาอัตราความร้อนที่ให้กับเทอร์โมอิเล็กตริก (Q_H) อัตราความร้อนที่ระบบออกจากเทอร์โมอิเล็กตริก (Q_C) กำลังไฟฟ้าที่ได้ (P) [9] และประสิทธิภาพที่เชิงความร้อน (η) สามารถหาได้ดังนี้ [10]

$$Q_H = n \left[\alpha T_H I - 0.5 I^2 R + K(T_H - T_C) \right] \quad (2.1)$$

$$Q_C = n \left[\alpha T_C I - 0.5 I^2 R + K(T_H - T_C) \right] \quad (2.2)$$

$$P = IV \quad (2.3)$$

$$\text{Power}_{\max} = I^2 (R_i + R_L); \text{ โดยที่ } R_i = R_L \quad (2.4)$$

$$\eta = \frac{P}{Q_H} \quad (2.5)$$

เมื่อ	I	กระแสไฟฟ้าที่ได้จากเทอร์โมอิเล็กตริก (A)
	V	แรงดันไฟฟ้าที่ได้จากเทอร์โมอิเล็กตริก (V)
n		จำนวนเทอร์โมอิเล็กตริกใน 1 โมดูล (126)
K		ค่าการนำความร้อนของเทอร์โมอิเล็กตริก (2.8×10^{-3} W/K)
P		กำลังไฟฟ้าที่ได้จากเทอร์โมอิเล็กตริก (W)
R		ค่าความต้านทานไฟฟ้าของเทอร์โมอิเล็กตริก (6.508×10^{-3} Ω)
Q_H		ความร้อนที่ให้กับเทอร์โมอิเล็กตริก(W)
Q_C		ความร้อนที่ระบบออกจากเทอร์โมอิเล็กตริก (W)
T_H		อุณหภูมิที่ด้านร้อนของเทอร์โมอิเล็กตริก (K)
T_C		อุณหภูมิที่ด้านเย็นของเทอร์โมอิเล็กตริก (K)
α		สัมประสิทธิ์ Seebeck (2.1266×10^{-4} V/K)
η		ประสิทธิภาพที่เชิงความร้อน

2.3 วิเคราะห์ประสิทธิภาพการใช้งานเตาเครมซูกิจ

ปริมาณความร้อนที่ใช้ในการหุงต้ม คือปริมาณความร้อนที่ทำให้อุณหภูมิปิดติกลายเป็นไอน้ำ ต่อปริมาณความร้อนที่ได้จากการเผาไหม้ของเชื้อเพลิง [11] สามารถคำนวณ แสดงดังสมการ (2.6)

$$HU = \frac{MC_p(T_2 - T_1) + (M - M_1)L}{M_f H} \times 100 \quad (2.6)$$

HU	ประสิทธิภาพ (Heat Utilization Efficiency)
M	น้ำหนักน้ำ (kg)
M_1	น้ำหนักน้ำที่เหลืออยู่ (kg)
M_f	น้ำหนักเชื้อเพลิง (kg)
C_p	ความร้อนจำเพาะของน้ำ (4.184 kJ/kg°C)
T_1	อุณหภูมน้ำก่อนตั้งไฟ (°C)
T_2	อุณหภูมิของน้ำเดือด (°C)
H	ค่าความร้อนของเชื้อเพลิงถ่าน (26,378 kJ/kg)
L	ค่าความร้อนแห้งของน้ำ (2,261 kJ/kg)

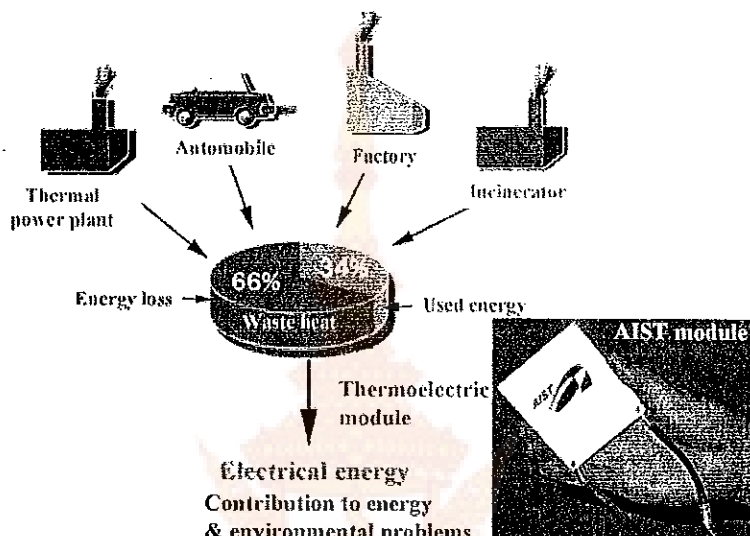
2.4 แหล่งความร้อนเหลือทิ้ง

2.4.1 ที่มาของความร้อนเหลือทิ้ง

การเปลี่ยนรูปพลังงานจากการเผาไหม้ของเชื้อเพลิงต่าง ๆ ได้แก่ เชื้อเพลิงฟอสซิล เชื้อเพลิงชีวมวล หรือปฏิกริยานิเคลียร์ เป็นต้น ไปเป็นพลังงานความร้อนเพื่อใช้ประโยชน์ในชีวิตประจำวันและงานต้านอุตสาหกรรมต่าง ๆ เช่น การใช้ความร้อนสำหรับจัดกลไวน้ำเพื่อผลิตกระแสไฟฟ้า การใช้ความร้อนเพื่อแปรรูปโลหะ การสันดาปเครื่องยนต์ การเผาไหม้ในระบบปิด และการทำความเย็นแบบ absorption เป็นต้น พบว่า ประสิทธิภาพของการนำความร้อนจากแหล่งพลังงานต่างกล่าวไว้ไปใช้ประโยชน์นั้นทำได้เพียง 30%-40% เท่านั้น ความร้อนส่วนเกินต้องทิ้งไปกับระบบระบายความร้อนในระบบเดียวกับเปลี่ยนความร้อนของเครื่องระบบทำความร้อน ซึ่งต้องสูญเสียพลังงานไป 60%-70% เมื่อจากข้อจำกัดของประสิทธิภาพคาร์บอนต์ (η_c) [12] ใน การแปลงผันพลังงานตามวัฏจักรการ์โนต์ดังสมการ 2.7 เรียกว่า “ความร้อนเหลือทิ้ง (was te heat)” กระบวนการแปรรูปพลังงานความร้อนและเกิดความร้อนเหลือทิ้งแสดงในแผนภาพรูปที่ 2.19

$$\eta_c = \frac{T_{hot} - T_{cold}}{T_{hot}} \quad (2.7)$$

- โดยที่
- η_c เป็น ประสิทธิภาพการ์โนต์
 - T_{hot} เป็น อุณหภูมิสัมบูรณ์ของแหล่งกำเนิดความร้อน
 - T_{cold} เป็น อุณหภูมิสัมบูรณ์ระบบถ่ายความร้อน



รูปที่ 2.10 ความร้อนเหลือทิ้งจากการใช้พลังงานแหล่งต่าง ๆ [14]

2.4.2 ระดับอุณหภูมิของแหล่งความร้อนเหลือทิ้ง

ความร้อนเหลือทิ้งจากแหล่งกำเนิดความร้อนขนาดใหญ่ในโรงงานอุตสาหกรรมลดลงโดยจะลดลงตามนี้เป็นแหล่งความร้อนเกรดสูง (high grade heat source) มีอุณหภูมิสูงมากกว่า 650°C ส่วนโรงงานผลิตพลังงานไฟฟ้า และความร้อนจากปล่องไอเสียเครื่องยนต์จะมีอุณหภูมิปานกลางประมาณ $120-650^{\circ}\text{C}$ จะต่ำกว่าความร้อนจากการหุงต้มหรือกระบวนการทางอุตสาหกรรมที่ใช้ไอน้ำแรงดันต่ำจะเป็นแหล่งความร้อนเกรดต่ำ (low grade heat source) มีอุณหภูมิสูงในช่วง $60-120^{\circ}\text{C}$ โดยประมาณ ดังแสดงข้อมูลเบรย์บเทียบระหว่างระดับอุณหภูมิของแหล่งความร้อนเหลือทิ้งประเภทต่าง ๆ ในตารางที่ 2.1, 2.2 และ 2.3 [13] ซึ่งความร้อนจากแหล่งความร้อนเหลือทิ้งดังกล่าวสามารถนำกลับคืนมาใช้ได้แทนที่จะทิ้งไปกับระบบบายความร้อนสู่บรรยากาศโดยเปล่าประโยชน์ ซึ่งการหนึ่งลักษณะของแหล่งความร้อนนี้เป็นแหล่งพลังงานที่ให้ความร้อนต่อเนื่องและมีอุณหภูมิที่ไม่เปลี่ยนแปลงมาก จึงสามารถนำมาใช้กับระบบผลิตไฟฟ้าด้วยเซลล์ความร้อนเพื่อก็นกลับพลังงานเหลือทิ้งมาเป็นพลังงานไฟฟ้าอันจะช่วยให้เกิดการใช้พลังงานไฟฟ้าเสริมตามหลักการอนุรักษ์พลังงาน

ตารางที่ 2.1 ระดับอุณหภูมิของแหล่งความร้อนเหลืองทึ้งเกรดสูง

Type of device	Temperature, °C	Temperature, °F
Nickel refining furnace	1371-1649	2500-3000
Aluminum refining furnace	649-760	1200-1400
Zinc refining furnace	760-1093	1400-2000
Copper refining furnace	760-816	1400-1500
Steel heating furnace	927-1038	1700-1900
Glass melting furnace	982-1538	1800-2800
Solid waste incinerators	649-982	1200-1800

ตารางที่ 2.2 ระดับอุณหภูมิของแหล่งความร้อนเหลืองทึ้งเกรดปานกลาง

Type of device	Temperature, °C	Temperature, °F
Steam boiler exhausts	123-482	450-900
Gas turbine exhausts	371-538	700-1000
Reciprocating engine exhausts	316-593	600-1100
Heat treating furnace	427-649	800-1200
Drying and backing ovens	232-593	450-1100

ตารางที่ 2.3 ระดับอุณหภูมิของแหล่งความร้อนเหลืองทึ้งเกรดต่ำ

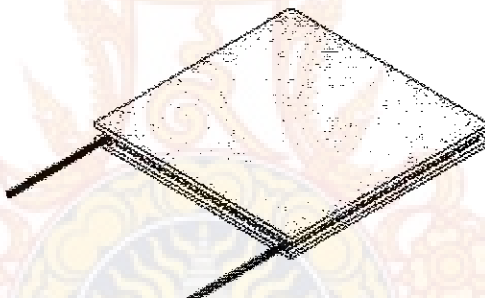
Type of device	Temperature, °C	Temperature, °F
Process steam condensate	54-88	130-190
Cooling water from :		
Furnace	32-55	90-130
Bearing	32-88	90-190
Welding machines	32-88	90-190
Injection molding machines	32-88	90-190
Air compressor	27-49	80-120
Internal combustion engines	66-121	150-250
Air-cond. And refrig. Condensers	62-43	90-110

บทที่ 3

ขั้นตอนการดำเนินงานวิจัย

3.1 เครื่องต้นแบบ

เครื่องต้นแบบที่ใช้ในการศึกษาทดลองนี้ประกอบด้วยเตาเครழูกิ ซึ่งใช้ถ่านเป็นเชื้อเพลิงที่ด้านบนของเตาจะใช้ในการวางแผนในการหุงต้มทั่วไป และติดตั้งเทอร์โมอิเล็กตริก (Taihaxing , Chaina model TEPI-1264-34) ไว้ที่ด้านข้างของปล่องระบบความร้อน การดำเนินการวิจัยเริ่มจากการทดลองเบื้องต้นเพื่อหาอุณหภูมิผนังเครื่องແຄเปลี่ยนความร้อน แต่ละจุดเพื่อทราบอุณหภูมิของผนัง เครื่องແຄเปลี่ยนความร้อนที่ใช้ในการผลิตไฟฟ้า จากนั้นทำการทดลองผลิตไฟฟ้าเพื่อเลือกเทอร์โมอิเล็กตริกที่มีความเหมาะสมสำหรับการผลิตกระแสไฟฟ้า โดยพิจารณาประสิทธิภาพและการผลิตไฟฟ้า โดยใช้ข้อมูลอุณหภูมิของผนังเครื่องແຄเปลี่ยนความร้อน



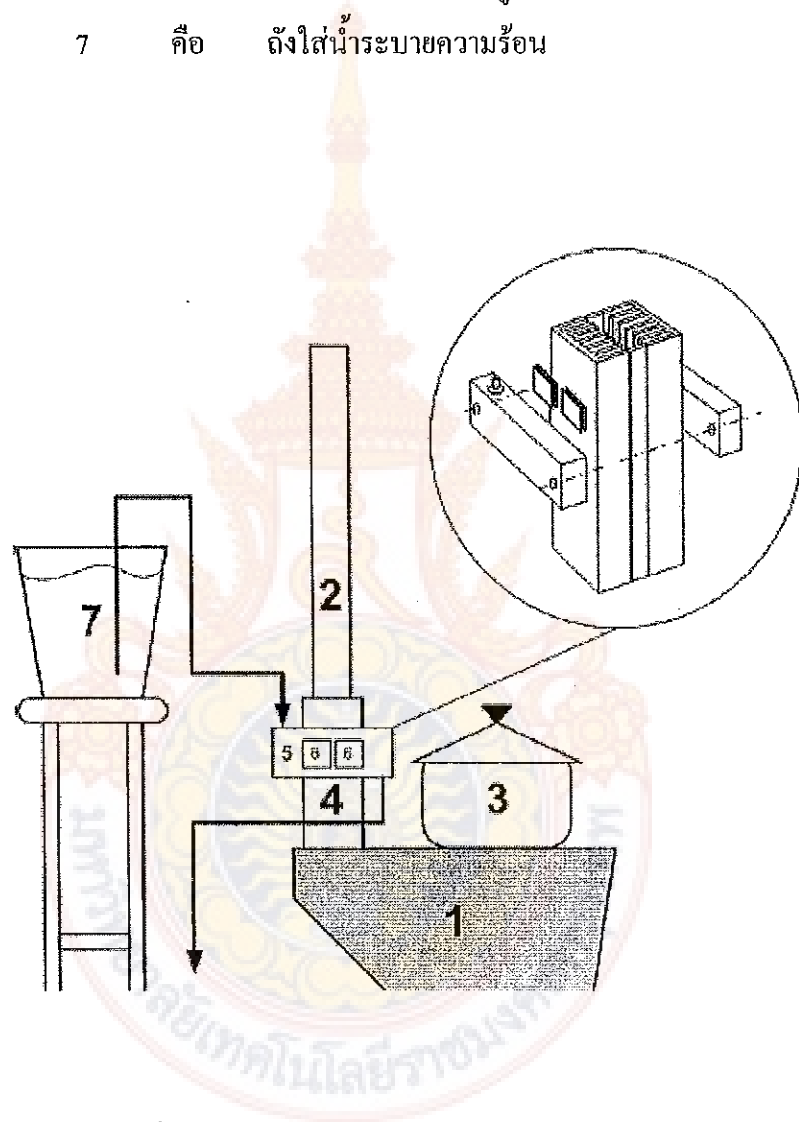
ภาพที่ 3.1 เทอร์โมอิเล็กตริก โมดูล

3.2 การติดตั้งเทอร์โมอิเล็กตริก

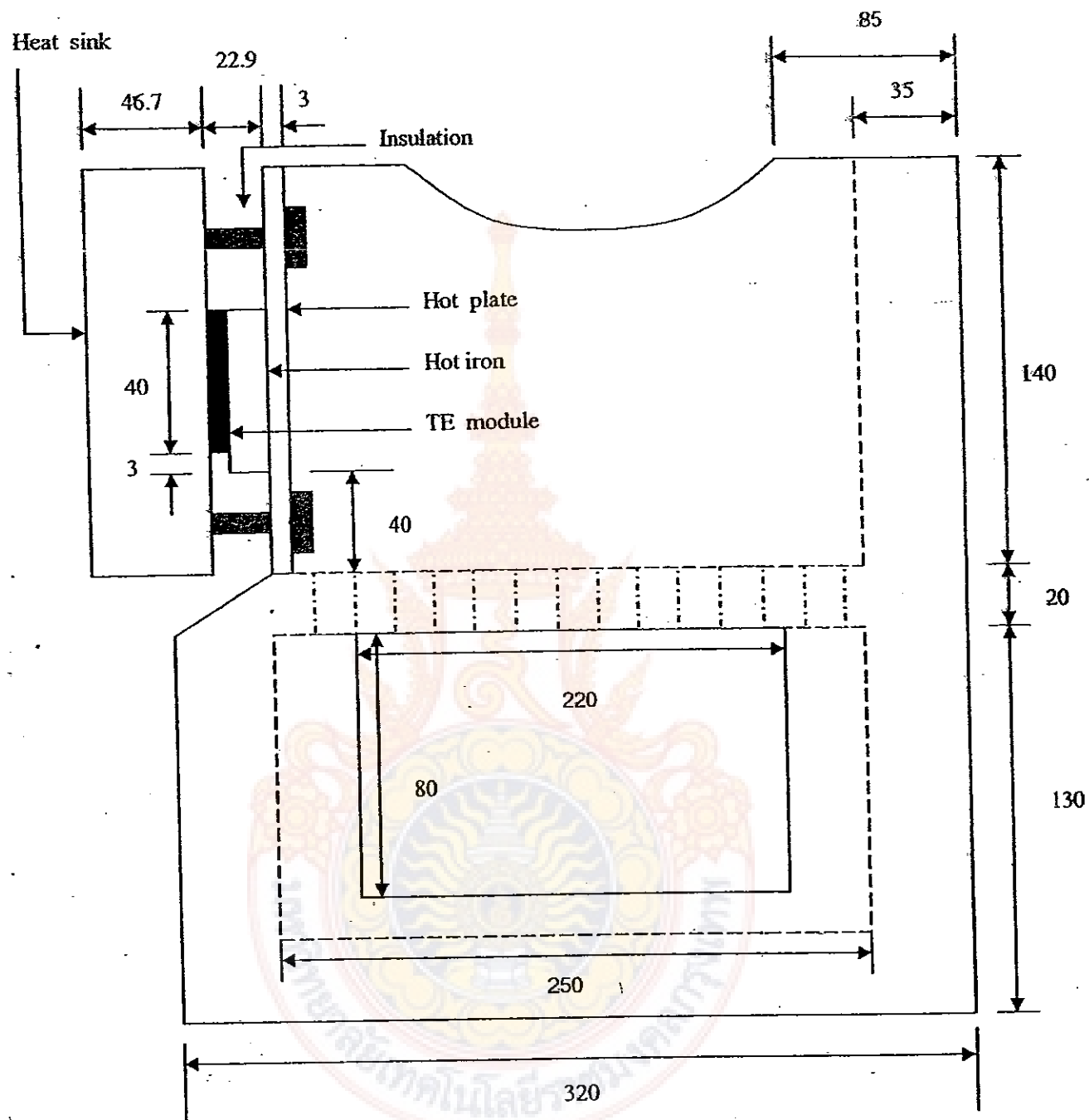
ระบบผลิตไฟฟ้าที่ใช้ในงานวิจัยนี้ใช้เทอร์โมอิเล็กจำนวน 4 โมดูลต่อนุกรมกันทางไฟฟ้า โดยทำการติดตั้งเทอร์โมอิเล็กตริกบนตัวรับความร้อนที่สร้างขึ้นจากซิงค์ส่องอันที่หันหน้าเข้าหากันและใช้ครีบของอีตซิงค์เป็นตัวรับความร้อนทำให้พื้นที่รับความร้อนเพิ่มมากขึ้นกว่าการติดตั้งบนปล่องควันระบบความร้อน ความร้อนที่ไหลออกมากทั้งปล่องควันของเตาเครழูกิจะถูกส่งผ่านให้กับเทอร์โมอิเล็กตริก โมดูลที่ติดตั้งอยู่บนตัวมัน โดยอีกด้านหนึ่งของเทอร์โมอิเล็กตริก โมดูลจะมีตัวรับความร้อนติดตั้งอยู่ตัวรับความร้อนที่ใช้สร้างขึ้นจากแท่งอลูминีียมสีเหลี่ยมที่เจาะรูภายในให้น้ำสามารถไหลผ่านได้

ส่วนประกอบต่าง ๆ ของระบบผลิตไฟฟ้าด้วยเทอร์โนมอเล็กตริก

หมายเลข	1	คือ	เตาเครยูกิจ
หมายเลข	2	คือ	ปล่องระบายน้ำ
หมายเลข	3	คือ	หม้อหุงต้ม
หมายเลข	4	คือ	ตัวรับความร้อน
หมายเลข	5	คือ	ตัวแยกเปลี่ยนความร้อน
หมายเลข	6	คือ	เทอร์โนมอเล็กตริกในคูล
หมายเลข	7	คือ	ถังไส้น้ำระบายน้ำความร้อน



ภาพที่ 3.2 ส่วนประกอบต่าง ๆ ของระบบผลิตไฟฟ้า



Note : All dimensions are in mm

ภาพที่ 3.3 การติดเทอร์โมอิเล็กทริกกับเตา gereยชุบิจ

3.3 การติดตั้งสายเทอร์โมคัปเปิล

จากภาพจะแสดงถึงจุดที่ติดตั้งสายเทอร์โมคัปเปิลที่จุดต่าง ๆ ดังนี้

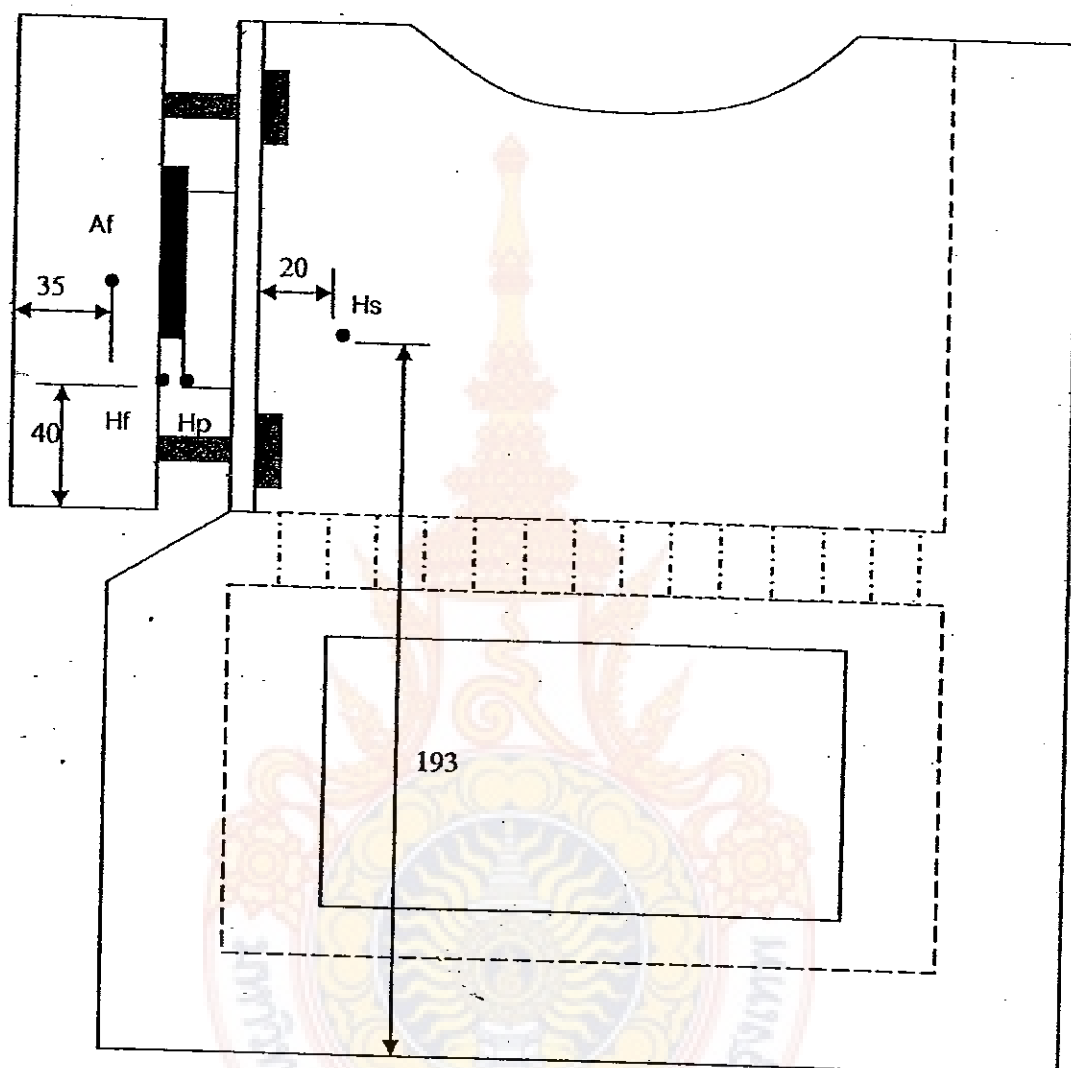
1. สายเทอร์โมคัปเปิลที่จุด Hs คือ สายเทอร์โมคัปเปิลที่อยู่ในเตาซึ่งติดห่างจาก Hot Plate อยู่ 20 mm ห่างจากพื้นรังผึ้งของเตา 40 mm
2. สายเทอร์โมคัปเปิลที่จุด Hp คือ สายเทอร์โมคัปเปิลที่อยู่บนเหล็กซึ่งติดตั้งห่างจากเทอร์โมอิเล็กตริก 2 mm
3. สายเทอร์โมคัปเปิลที่จุด Hf คือ สายเทอร์โมคัปเปิลที่อยู่ใต้ครีบระบายน้ำร้อนอยู่ห่างจากเทอร์โมอิเล็กตริก 2 mm
4. สายเทอร์โมคัปเปิลที่จุด Af คือ สายเทอร์โมคัปเปิลที่อยู่ระหว่างครีบที่ 6 กับ ครีบที่ 7 ติดตั้งสูงจากพื้นครีบระบายน้ำร้อน 15 mm และอยู่ที่จุดศูนย์กลางครีบ
5. สายเทอร์โมคัปเปิลวัดอุณหภูมิของน้ำในการทดลองประสิทธิภาพเตา
6. สายเทอร์โมคัปเปิลวัดอุณหภูมิของสภาพแวดล้อมในการทดสอบ

3.4 วิธีการทดลอง

เมื่อทำการทดลองติดตั้งเทอร์โมอิเล็กตริกในจุดเข้ากับเตาเรียบร้อยแล้ว ก็จะเริ่มทำการทดลองเพื่อหาค่าความร้อนและกระแสไฟฟ้าได้

ตัวแปรที่ทำการปรับเปลี่ยนในการทดลองนี้มีอยู่ 2 ตัวแปร

1. อุณหภูมิที่ให้กับเทอร์โมอิเล็กตริก โดยจะปรับเปลี่ยนอุณหภูมิที่ให้กับด้านร้อนของเทอร์โมอิเล็กตริก อยู่ 3 ค่า คือ 70°C 100°C และ 210°C
2. ความต้านทานภายนอก โดยจะมีการเปลี่ยนแปลงเป็นอยู่ 14 ค่า คือ 0.5 Ohm 1 Ohm 2 Ohm 2.4 Ohm 5 Ohm 6.2 Ohm 7.5 Ohm 10 Ohm 12 Ohm 20 Ohm 50 Ohm 100 Ohm 150 Ohm และ 1 k Ohm



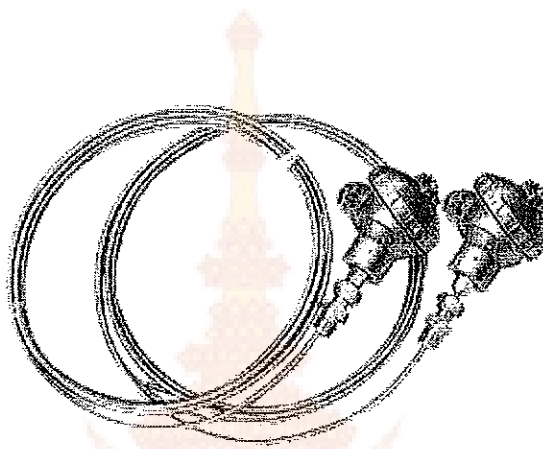
Note : All dimensions are in mm

ภาพที่ 3.4 การตัดตั้งสายเทอร์โนมคัปเปิลที่ชุดต่าง ๆ

3.5 อุปกรณ์ที่ใช้ในงานวิจัย

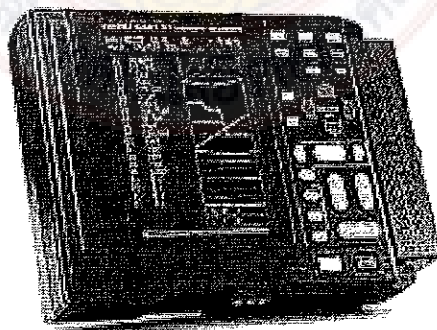
เครื่องมือสำหรับบันทึกข้อมูลที่ใช้ในงานวิจัยนี้ ได้แก่

1. สายเทอร์โมคัปเปิล (thermocouple) สำหรับการวัดอุณหภูมิในการทดลอง แสดงผลเป็นองศาเซลเซียส ($^{\circ}\text{C}$) อุปกรณ์ที่ใช้ประกอบด้วย เทอร์โมคัปเปิลแบบเก (thermocouple type K) ดังภาพที่ 3.5 วัดอุณหภูมิได้ในช่วง -200°C ถึง $1,370^{\circ}\text{C}$ ต่อเข้ากับช่องสัญญาณของเครื่องบันทึกข้อมูลอัตโนมัติ (Data logger)



ภาพที่ 3.5 สายเทอร์โมคัปเปิลแบบเก

2. เครื่องบันทึกข้อมูลอัตโนมัติ (Data logger) เป็นเครื่องบันทึกข้อมูลอัตโนมัติ ซึ่งสามารถบันทึกข้อมูลได้หลายรูปแบบ เช่น อุณหภูมิ แรงดันไฟฟ้าฯ มีช่องสัญญาณจำนวน 32 ช่องสัญญาณ (HIOKI 8422-51) ใช้สำหรับบันทึกข้อมูลที่ได้จากการทดลอง ได้แก่ อุณหภูมิพนังเครื่องแลกเปลี่ยนความร้อน อุณหภูมิด้านร้อนและด้านเย็นของเทอร์โมอิเล็กตริก อุณหภูมน้ำรadiator แรงดันไฟฟ้า และกระแสไฟฟ้าที่เทอร์โมอิเล็กตริกผลิตได้ แสดงดังภาพที่ 3.6



ภาพที่ 3.6 เครื่องบันทึกข้อมูลอัตโนมัติ

3. เครื่องวัดความเร็วลม (air velocity meter) เป็นเครื่องวัดความเร็วอากาศแบบ hot wire ซึ่งสามารถวัดได้หลายรูปแบบ คือ ความเร็วลม อัตราการไหลอากาศ และอุณหภูมิ (Testo 445) ค่าความผิดพลาด ± 0.015 เมตรต่อวินาที ใช้สำหรับวัดความเร็วของลมจากพัดลมระบายอากาศที่ออกจากเครื่องแลกเปลี่ยนความร้อนไปยังห้องอบแห้ง แสดงดังภาพที่ 3.7



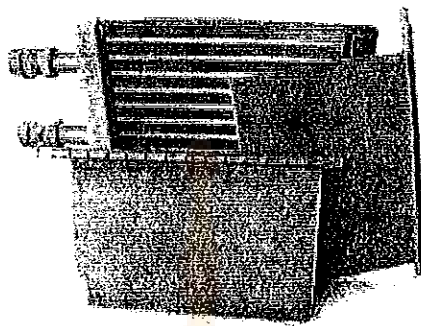
ภาพที่ 3.7 เครื่องวัดความเร็วลม

4. เครื่องวัดมัลติมิเตอร์ (digital multimeter) เป็นเครื่องมือสำหรับวัดค่าทางไฟฟ้า ใช้สำหรับการวัดแรงดันไฟฟ้า กระแสไฟฟ้า และความต้านทานไฟฟ้า ในขั้นตอนการทดลองสำหรับเด็กเทอร์โมอิเล็กทริก แสดงดังภาพที่ 3.8



ภาพที่ 3.8 เครื่องวัดมัลติมิเตอร์

5. แผ่นทำความร้อน (Heater) เป็นแหล่งกำเนิดความร้อน สำหรับจำลองความร้อนให้แก่เทอร์โมอิเล็กตริกในการทดสอบความสามารถในการผลิตไฟฟ้าของเทอร์โมอิเล็กตริกขนาด 200 Watts ทำความร้อนสูงสุด 260°C ดังภาพที่ 3.9



ภาพที่ 3.9 แผ่นทำความร้อน

6. หม้อแปลงปรับแรงดัน (Variac) เป็นเครื่องจ่ายไฟฟ้ากระแสตรงที่สามารถปรับแรงดันไฟฟ้าได้ สำหรับจ่ายกระแสไฟฟ้าแก่แผ่นทำความร้อนเพื่อทำความร้อนในการทดสอบความสามารถในการผลิตไฟฟ้าของเทอร์โมอิเล็กตริก สามารถปรับแรงดันไฟฟ้าได้ในช่วง 0-350 Volts ดังภาพที่ 3.10



ภาพที่ 3.10 หม้อแปลงปรับแรงดัน

7. เครื่องวัดความร้อนสูญเสีย (heat flowmeter) เป็นเครื่องวัดปริมาณความร้อนที่แผ่ออกจากผิวสัมผัส ใช้วัดความร้อนที่สูญเสียจากผนังเครื่อง deductions เปลี่ยนความร้อนเพื่อเปรียบเทียบความร้อนที่สูญเสียจากผนังเครื่อง deductions เปลี่ยนความร้อนก่อนและหลังการปรับปรุง ดังภาพที่ 3.11



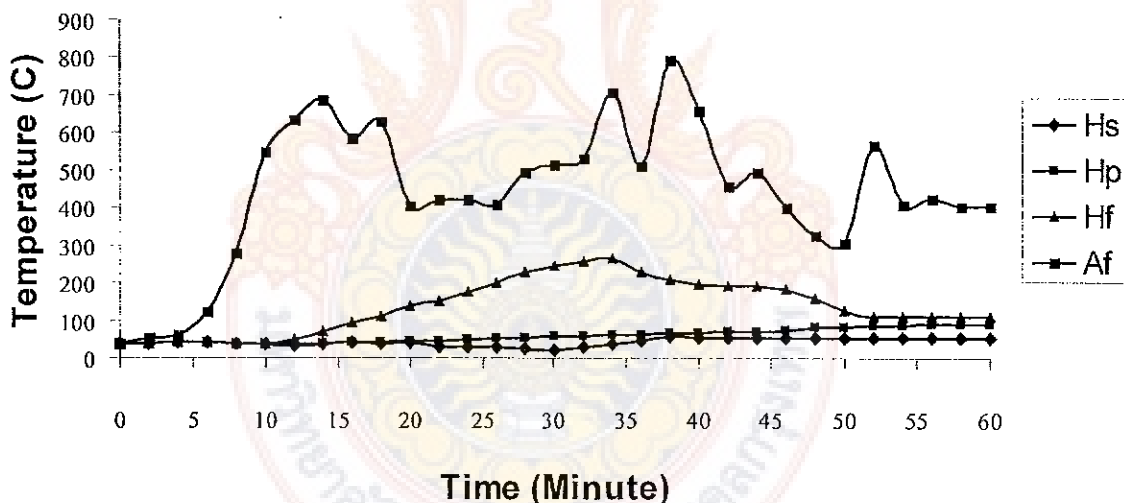
ภาพที่ 3.11 เครื่องวัดความร้อนสูญเสีย

บทที่ 4

ผลการดำเนินงานและผลการวิจัย

จากการทดลอง เพื่อหาค่ากำลังไฟฟ้าสูงสุด พบว่าที่อุณหภูมิ 200°C จำทำให้กำลังไฟฟ้าได้สูงสุด ซึ่งจะเกิดเมื่อทำการลัดวงจร (Short Circuit) ไม่ต่อตัวต้านทาน เพื่อหาค่ากระแสไฟฟ้าสูงสุด ซึ่งมีค่าเท่ากับ 0.84A และวัดแรงดันไฟฟ้าเพื่อหาค่าแรงดันไฟฟ้าสูงสุด โดยการเปิดวงจร (Open Circuit) ไม่ต่อตัวต้านทาน พบว่าค่าความต่างศักดิ์สูงสุดมีค่าเท่ากับ 5.35 V และความต้านทานภายใน 6.3 Ohm ซึ่งพบว่ากำลังไฟฟ้าที่ได้คือ 4.5 W

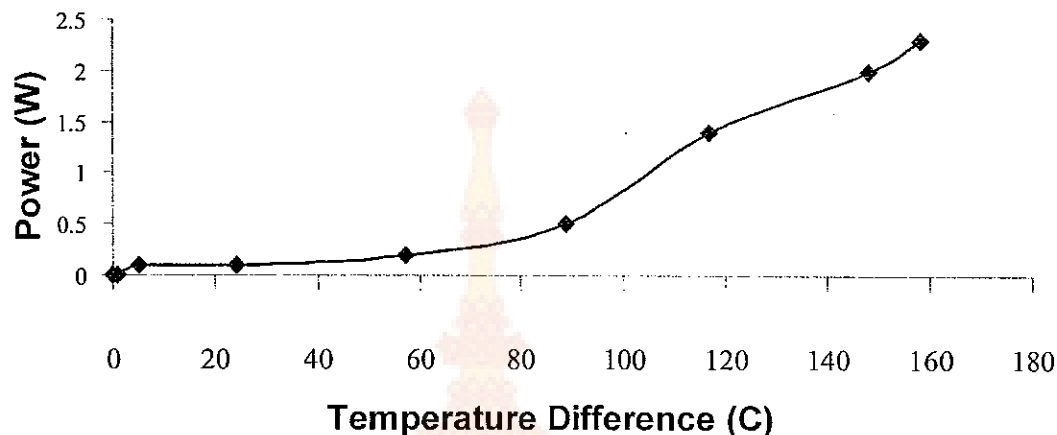
ภาพที่ 4.1 แสดงอุณหภูมิของการติดไฟในเตา แผ่นเหล็ก เครื่องแแกปเปลี่ยนความร้อนและอากาศร้อนในครึ่งของเครื่องแแกปเปลี่ยนความร้อน เมื่อเริ่มติดไฟสำหรับเตาเครย์กิกิ อุณหภูมิของการติดไฟของถ่านจะเพิ่มขึ้น เป็นเหตุให้อุณหภูมิของแผ่นเหล็กเพิ่มขึ้น โดยจะทำการควบคุมอุณหภูมิที่แผ่นเหล็กไม่ให้เกิน 200°C พบว่าที่อุณหภูมิ 200°C ของแผ่นเหล็ก อุณหภูมิในเตาจะมีค่าเท่ากับ 516°C และอุณหภูมิจะขึ้นลง เมื่อนำจากสภาพแวดล้อมในการทดสอบเมื่อมีลมพัด



ภาพที่ 4.1 การเปลี่ยนแปลงอุณหภูมิความร้อนในเตา แผ่นเหล็ก เครื่องแแกปเปลี่ยนความร้อน และอากาศระหว่างครึ่งของเตา ความร้อนกับเวลา

4.1 ผลของการเปลี่ยนแปลงของกำลังไฟฟ้ากับความแตกต่างระหว่างอุณหภูมิต้านร้อนและต้านเย็นของเทอร์โมอิเล็กตริก

การทดลองได้วัดค่าความร้อนที่ต้านร้อนและต้านเย็นของเทอร์โมอิเล็กตริกที่ 4.2 จะพบว่าเมื่ออุณหภูมิที่แตกต่างกันระหว่างต้านร้อนกับต้านเย็นของเทอร์โมอิเล็กตริกมีความแตกต่างกันมากขึ้น กำลังไฟฟ้าที่ได้ก็จะมากขึ้นเช่นเดียวกันซึ่งจะเป็นไปตามสมการที่ 2.3

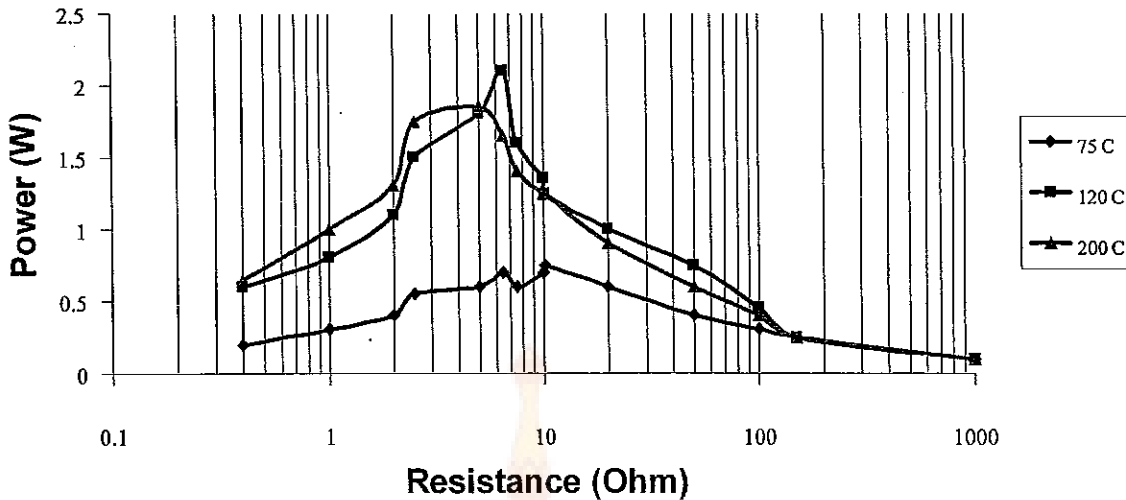


ภาพที่ 4.2 การเปลี่ยนแปลงของกำลังไฟฟ้ากับความแตกต่างระหว่างอุณหภูมิต้านร้อนและต้านเย็นของเทอร์โมอิเล็กตริก

4.2 ผลของการเปลี่ยนแปลงของกำลังไฟฟ้าเมื่อต้านทานที่ให้และต้านทานที่ได้

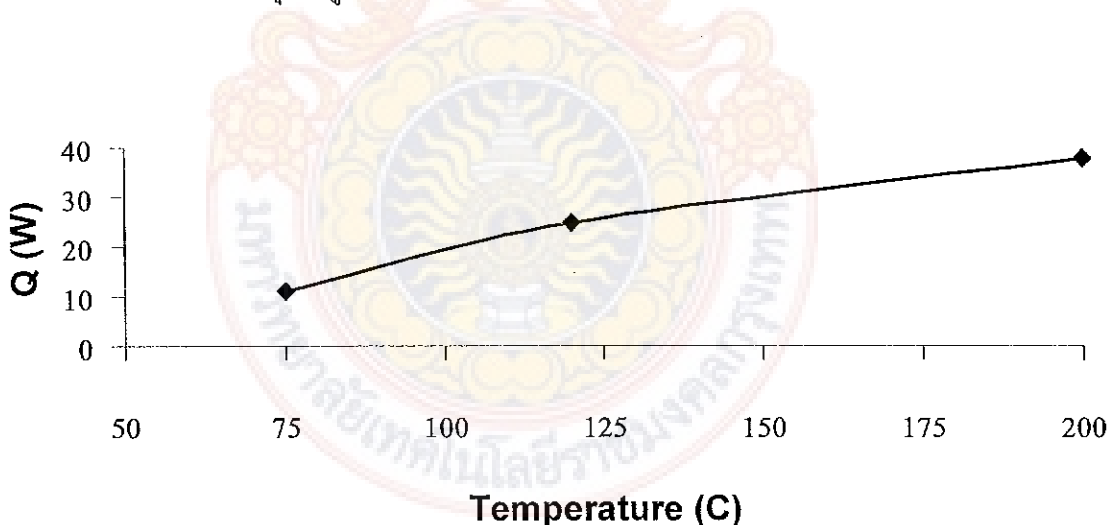
จากการทดลองพบว่าค่าความต้านทานภายในของเทอร์โมอิเล็กตริกจะขึ้นอยู่กับค่าความร้อนที่ให้แก่เทอร์โมอิเล็กตริก โดยทำการลัดวงจร (Short Circuit) เพื่อหาระดับไฟฟ้าสูงสุดและทำการเปิดวงจร (Open Circuit) เพื่อหาความต่างศักย์สูงสุด ดังนี้เมื่อให้ความร้อนแก่เทอร์โมอิเล็กตริก 75°C จะพบว่า ค่าความต้านทานภายในเป็น 5.2 Ohm ค่ากำลังไฟฟ้าเท่ากับ 1.57 W เพิ่มความร้อนของแผ่นเหล็ก เป็น 120°C จะพบว่า ค่าความต้านทานภายในเป็น 6.1 Ohm ค่ากำลังไฟฟ้าเท่ากับ 3.016 W เพิ่มความร้อนของแผ่นเหล็กเป็น 200°C จะพบว่า ค่าความต้านทานภายในเป็น 6.3 Ohm ค่ากำลังไฟฟ้าเท่ากับ 4.5 W

เมื่อใช้ความต้านทานต่อจะทำให้ได้ค่ากระแสไฟฟ้ามาก ความต่างศักย์น้อย แต่ถ้าใช้ความต้านทานมากทำให้ได้กระแสไฟฟ้าน้อยแต่ค่าความต่างศักย์มาก ดังนั้นการใช้ความต้านทานต่ำกว่าความต้านทานภายในของเทอร์โมอิเล็กตริกจะได้กำลังไฟฟ้าต่ำ จากนั้นกำลังไฟฟ้าจะเพิ่มขึ้นเรื่อยๆ จนมีค่าสูงสุดที่ความต้านทานที่มีค่าเท่ากับความต้านทานภายในของเทอร์โมอิเล็กตริก แล้วจากนั้นก็จะลดลงอีกเรื่อยๆ เมื่อค่าความต้านทานเพิ่มขึ้น ดังภาพที่ 4.3

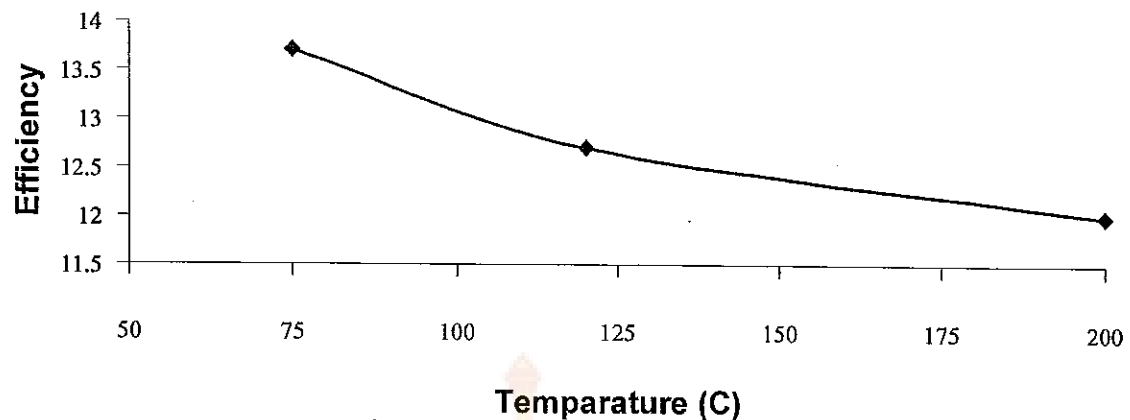


ภาพที่ 4.3 กราฟความสัมพันธ์ระหว่างความต้านทานที่ใช้และกำลังไฟฟ้า
ที่ได้เมื่อปรับอุณหภูมิที่ 75 °C 120 °C และ 200 °C

จากการทดลองว่าเมื่อเพิ่มอุณหภูมิที่ด้านร้อนของเทอร์โมอิเล็กตริก กำลังไฟฟ้าจะเพิ่มขึ้น และจะได้ค่าความร้อนเพิ่มขึ้นเช่นกัน ดังแสดงในภาพที่ 4.4 ในอัตราส่วนที่มากกว่าด้วย ดังนั้นจึงทำให้ประสิทธิภาพลดลงเมื่อเพิ่มอุณหภูมิที่ด้านร้อนของเทอร์โมอิเล็กตริกเพิ่มขึ้น ดังแสดงในภาพที่ 4.5



ภาพที่ 4.4 ความสัมพันธ์ระหว่าง อุณหภูมิด้านร้อนของเทอร์โมอิเล็กตริกกับความร้อน



ภาพที่ 4.5 ความสัมพันธ์ระหว่างอุณหภูมิด้านร้อนของเทอร์โมอิเล็กตริกกับประสิทธิภาพของระบบ



บทที่ 5

สรุปผลและข้อเสนอแนะ

5.1 สรุปผล

ในการวิจัยการเปลี่ยนพลังงานความร้อนเป็นพลังงานไฟฟ้าโดยใช้เทอร์โมอิเล็กตริกครั้งนี้ได้ทำการทดลองปรับเปลี่ยนอุณหภูมิที่ให้กับด้านร้อนของเทอร์โมอิเล็กตริกคือ 75°C 120°C และ 200°C และทำการปรับเปลี่ยนความต้านทานภายนอกของวงจรต่าง ๆ จำนวน 14 ค่า ($0.5 - 1\text{k Ohm}$) พบว่าเมื่อใช้ความต้านทานต่ำจะทำให้ได้ค่ากระแสไฟฟ้ามาก ความต่างศักดิน้อย แต่ถ้าใช้ความต้านทานมากจะทำให้ได้กระแสไฟฟ้าน้อยแต่ความต่างศักดิ์มาก ดังนั้นการใช้ความต้านทานต่ำกว่าความต้านทานภายนอกของเทอร์โมอิเล็กตริกจะได้กำลังไฟฟ้าต่ำจากนั้นกำลังไฟฟ้าจะเพิ่มขึ้นเรื่อย ๆ จนมีค่าสูงสุดที่ความต้านทานมีค่าเท่ากับความต้านทานภายนอกของเทอร์โมอิเล็กตริก แล้วจากนั้นจะลดลงอีกเรื่อย ๆ เมื่อค่าความต้านทานเพิ่มขึ้น ทั้งนี้เป็นไปตามสมการ $P = IV$ ซึ่งระบบจะให้กำลังไฟฟ้าสูงสุด 4.5 W ที่ความต้านทานภายนอก 6.3 Ohm ความร้อนที่ให้กับ Hot Plate เท่ากับ 200°C ประสิทธิภาพ 11.9% การให้ความร้อนกับเทอร์โมอิเล็กตริกมากขึ้นจะทำให้ได้กำลังไฟฟ้ามากขึ้นแต่ประสิทธิภาพลดลง เนื่องจากการสูญเสียในเทอมของ Joule Heating นอกจากนั้นยังได้ทดสอบประสิทธิภาพของเตาเครยชูกิจพบว่าการผลิตไฟฟ้าความร้อนที่มาจากเตาเครยชูกิจด้วยเทอร์โมอิเล็กตริกมีประสิทธิภาพการใช้งาน 23.20% และเมื่อรวมพลังงานจากการผลิตไฟฟ้าด้วยเทอร์โมอิเล็กตริก จะมีประสิทธิภาพ 23.39%

5.2 วิจารณ์ผลการวิจัย

5.2.1 ปัจจุบันเทอร์โมอิเล็กตริกไม่คุ้ด ยังมีการนำมาใช้ในวงจำกัด จึงมีราคาแพง มีผลให้ต้นทุนของเทอร์โมอิเล็กตริกมีราคาสูงกว่าการผลิตไฟฟ้าด้วยวิธีอื่น แต่การผลิตไฟฟ้าด้วยวิธีนี้เป็นการคืนกลับพลังงานความร้อนเหลือทิ้งมาใช้ได้ง่าย

5.2.2 การผลิตไฟฟ้าด้วยเทอร์โมอิเล็กตริกโดยใช้ความร้อนจากเตาเครยชูกิจครั้งนี้ สามารถนำไปใช้ผลิตไฟฟ้าในชนบทที่ห่างไกลสำหรับในครัวเรือนขนาดเล็ก โดยอาศัยความร้อนจากเชื้อเพลิงที่มีอยู่ในท้องถิ่น เช่น แกลูม ฟางข้าว ไม้ ชานอ้อย เป็นต้น เพื่อให้เป็นแหล่งความร้อนให้กับเทอร์โมอิเล็กตริก

5.3 ข้อเสนอแนะ

5.3.1 เนื่องจากการเพาไหมีของเตาเศรษฐกิจสามารถให้ความร้อนได้มากกว่านี้แต่ด้วยข้อจำกัดของวัสดุที่ใช้ทำเทอร์โมอิเล็กตริกในการศึกษา หากมีการศึกษาเพิ่มเติมความลือกเทอร์โมอิเล็กตริกที่สามารถใช้งานที่อุณหภูมิสูงได้

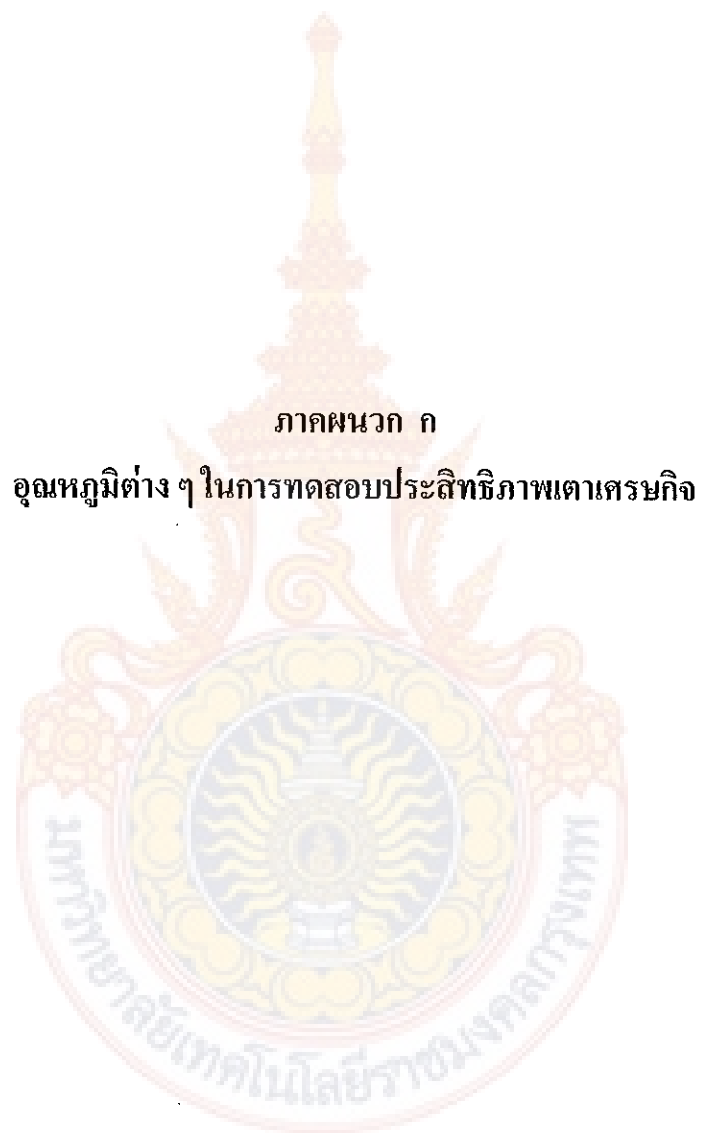
5.3.2 การผลิตไฟฟ้าจากเทอร์โมอิเล็กตริกจะมีประสิทธิภาพสูงเมื่อความแตกต่างระหว่างอุณหภูมิต้านร้อนกับต้านเย็นมาก หากมีการศึกษาเพิ่มเติม ควรเลือกครึ่งความร้อนที่มีประสิทธิภาพมากกว่านี้อย่างเช่น ครึ่งที่ผลิตจากทองแดง

5.3.3 การผลิตไฟฟ้าด้วยเทอร์โมอิเล็กตริก เป็นเทคโนโลยีที่นำเสนอทางนักวิเคราะห์เพิ่มเติม จากใช้ความร้อนจากแหล่งอื่น ๆ ได้อีก เช่น ความร้อนจากแอร์ เตาอบขนม เป็นต้น

บรรณานุกรม

- [1] Park T.J., Choi Y.C., Choi B.J., Hong J.C., Park J.S. and Rowe D.M. Research on the Waste Heat Recovery Technology using Thermoelectric Generation. 19th International Conference on Thermoelectrics, Cardiff, UK 313-316, 2000
- [2] Rowe D.M. Thermoelectrics, An Environmentally-Friendly Source of Electric Power, Renewable Energy, Vol. 16, 1251-1256, 1999
- [3] Rowe D.M., Min G., Aoune A., Matsuura K., Kuznetsov V.L. nad Fu L.W. Thermoelectric Recovery of Waste Heat – Case Studies, 16th International Conference on Thermoelectrics, USA, 1075-1079, 1996
- [4] Mozharivskyj, Yurij. Thermoelectric phases. Canada: McMaster University.
- [5] Steve J. Noll. Peltier Photos, Drawing & Animation[online]. Available from:
<http://www.peltier-info.com/photos.html>
- [6] Understanding Thermoelectric Cooling[online]. Available from:
- [7] Toshiba Giga Topaz thermoelectric module[online]. Available from:
<http://museum.toshiba.co.jp/06energy/newtech141.html>
- [8] Model 8550 Thermoelectric generator[online]. Available from:
http://www.globalte.com/pdf/teg_8550_spec.pdf
- [9] Chen K. and Gwilliam S.B. An analysis of heat transfer rate and efficiency of TE (thermoelectric) cooling systems, International Journal of Energy Research, Vol. 20, 399-417, 1996
- [10] Chen L., Gong J, Sun F. and Wu C., Effect of heat transfer on the performance of thermoelectric generators, International Journal of Thermal Science, Vol. 41, 95-99, 2001
- [11] นิยม จันทร์เทพา และธีระ มนัสธรรม. คู่มือการผลิตและใช้เทาหุงต้มประสิทธิภาพสูง : สำนักงานพัฒนาธุรกรรมชาติ กระทรวงวิทยาศาสตร์เทคโนโลยีและพลังงาน, 2527
- [12] Hagelstein, Peter. L. Thermal to electric energy conversion. Research Laboratory of Electronics, MIT, USA.
- [13] สุวิทย์ ปุณณชัยยะ และคณะ. รายงานฉบับสมบูรณ์ งานศึกษาวิเคราะห์ศักยภาพทางเทคโนโลยีเครื่องกำเนิดไฟฟ้าด้วยความร้อนเหลือทิ้งขนาด 100 วัตต์ ศูนย์เชี่ยวชาญพิเศษเฉพาะด้านเทคโนโลยีไฟฟ้ากำลัง คณะวิศวกรรมศาสตร์ จุฬาลงกรณ์มหาวิทยาลัย, ธันวาคม 2549.
- [14] The Research Institute for Ubiquitous Energy Devices. Electric Power Generated from Waste Heat. National Institute of Advanced Industrial Science and Technology, Japan, 2005.





ตารางที่ 3.1 อุณหภูมิต่าง ๆ ในการทดสอบประสิทธิภาพเตา

เวลา (นาที)	ในเตา (°C)	แผ่นเหล็ก (°C)	ครึ่งความร้อน (°C)	อากาศที่ครึ่ง (°C)	นำ (°C)	สิ่งแวดล้อม (°C)
0	32.9	30.4	30.3	31.3	29.5	32.1
3	66.5	32.3	31.3	31.8	32.4	32.2
6	173.1	38.7	32.5	32.5	47	32.3
9	247.3	60.2	35.9	34.4	62	32.2
12	517.8	99.2	43.4	37.6	78.2	32.3
15	318.6	143	55	44.1	92.3	32.4
18	389.1	187.8	69.8	52.9	99.7	32.3
21	413.7	229.1	85.4	61.4	99.7	32.3
24	400	256	98.8	64.3	99.7	32.3
27	398.7	268.7	108.5	77.6	99.7	32.6
30	392.1	271.8	114.4	79.6	99.8	32.6
33	386.9	270.2	118	85.3	99.8	32.4
36	371.6	267	120	84.6	99.7	32.4
39	366.9	261.4	119.1	84.5	99.7	32.3
42	354.2	255.1	119	84.2	99.7	32.2
45	347.3	248.2	117.6	87.7	99.6	32.2
48	318.9	241.2	115.7	80.8	99.5	32.2
51	323.7	233.1	113.1	82.7	99.6	32.1
54	310.5	225.5	110.2	81	99.5	32.1
57	305.1	218.5	107.3	77.8	99.1	32
60	296.1	211.4	105	79.7	99.2	32
63	281.9	204.4	103.1	76.2	98.5	31.9
66	271.4	197.7	100.8	74.9	98.2	31.8
69	261.3	191	98.9	75.2	97.3	31.8
72	251.9	184.1	96.3	72.9	96.1	31.8

เวลา (นาที)	ในเตา (°C)	แผ่นเหล็ก (°C)	ครีบความร้อน (°C)	อากาศที่ครีบ (°C)	น้ำ (°C)	สิ่งแวดล้อม (°C)
75	243.5	177.2	93.8	73.2	94.1	31.7
78	232.9	170.7	91.8	70.7	90.9	31.6
81	222.4	164.7	89.3	67.9	89.4	31.5
84	219.8	159	87.5	71.9	88.6	31.5
87	212.4	149.8	87.4	68.5	87.8	31.5
90	199.2	144.8	87.4	64.8	86.5	31.4
93	194.4	139.5	87.4	65.3	86.5	31.4
96	186.3	135	80.6	61.5	85.6	31.4
99	177.2	129.7	79.4	64.2	83.1	31.3



ภาคผนวก ข

ตัวอย่างการคำนวณทางไฟฟ้า

ตัวอย่างการคำนวณ

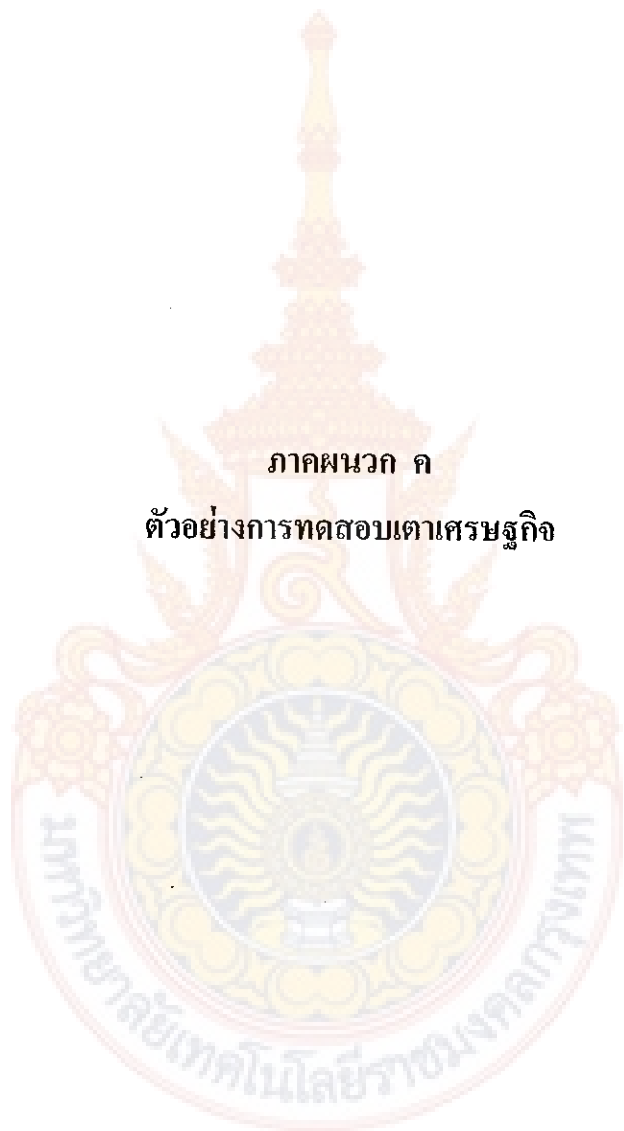
การทดลองเพื่อหาค่ากำลังไฟฟ้าสูงสุด พบว่าที่อุณหภูมิ 200°C จะให้กำลังไฟฟ้าได้สูงสุด ซึ่งจะเกิดเมื่อทำการลัดวงจร (Short Circuit) ไม่ต่อตัวต้านทาน เพื่อหาค่า กระแสไฟฟ้าสูงสุด ซึ่งมีค่าเท่ากับ 0.84 A และวัดแรงดันไฟฟ้า เพื่อหาค่าแรงดันไฟฟ้าสูงสุด โดยการเปิดวงจร (Open Circuit) ไม่ต่อตัวต้านทาน พบว่าความต่างศักดิ์สูงสุดมีค่าเท่ากับ 5.35 V

$$1. \quad V = IR$$

V	แรงดันไฟฟ้าเมื่อไม่ผ่านความต้านทานภายนอก	=	5.35	V
I	กระแสเมื่อไม่ผ่านความต้านทานภายนอก	=	0.84	A
$\therefore R$	ความต้านทานภายใน	=	6.3	Ohm

$$2. \quad P = IV$$

V	แรงดันไฟฟ้าเมื่อไม่ผ่านความต้านทานภายนอก	=	5.35	V
I	กระแสเมื่อไม่ผ่านความต้านทานภายนอก	=	0.84	A
$\therefore P$	กำลังไฟฟ้า	=	4.5	W



ตัวอย่างการทดสอบเตาเครมรูกิจ

ปริมาณความร้อนที่ใช้ในการหุงต้ม คือปริมาณความร้อนที่ทำให้อุณหภูมิปักติกลายเป็นไอน้ำ ต่อปริมาณความร้อนที่ได้จากการเผาไห้มีของเชื้อเพลิงสามารถคำนวณ แสดงดังสมการ (2.6)

$$HU = \frac{MC_p(T_2 - T_1) + (M - M_f)L}{M_f H} \times 100$$

HU	ประสิทธิภาพ (Heat Utilization Efficiency)		
M	น้ำหนักน้ำ	3	kg
M ₁	น้ำหนักน้ำที่เหลืออยู่	1.974	kg
M _f	น้ำหนักเชื้อเพลิง ถ่าน 0.5 kg ไม่จุดไฟที่ใช้ 0.035 kg		
C _p	ความร้อนจำเพาะของน้ำเท่ากับ	4.184	kJ/kg°C
T ₁	อุณหภูมิน้ำก่อนตั้งไฟ	29.5°C	
T ₂	อุณหภูมิของน้ำเดือด	100°C	
H	ค่าความร้อนของเชื้อเพลิงถ่าน	26,378 kJ/kg	
L	ค่าความร้อนแห้งของน้ำ	2,261 kJ/kg	

ค่าประสิทธิภาพการใช้งาน แทนค่าในสูตร

$$= \frac{3 \times 4.184(100 - 29.5) + (3 - 1.974) \times 2261}{(0.50 \times 26378) + (0.035 \times 17920)} \times 100$$

$$= \frac{3204.702}{13816.2} \times 100$$

$$= 23.20 \%$$

ประสิทธิภาพการใช้งานเมื่อร่วมกับผลิตไฟฟ้าจากเทอร์โนอิเล็กตริกในการทดสอบเตา 5,940 วินาที ได้กำลังไฟฟ้าสูงสุด 4.5 W

$$= 6240 \times 4.5$$

$$= 26730$$

$$= 26.73 \text{ kJ}$$

$$= \frac{3204.702 + 26.73}{13816.2} \times 100$$

$$= 23.39 \%$$





ประสิทธิภาพของการเปลี่ยนพลังงานความร้อนเป็นพลังงานไฟฟ้าโดยใช้เทอร์โมอิเล็กตริก

สมการที่ใช้ในการคำนวณหาอัตราความร้อนที่ให้กับเทอร์โมอิเล็กตริก (Q_H) อัตราความร้อนที่ระบายนอกจากเทอร์โมอิเล็กตริก (Q_C) กำลังไฟฟ้าที่ได้ (P) และประสิทธิภาพเชิงความร้อน (η) สามารถหาได้ดังนี้

$$Q_H = n \left[\alpha T_H I - 0.5 I^2 R + K(T_H - T_C) \right]$$

$$Q_C = n \left[\alpha T_C I - 0.5 I^2 R + K(T_H - T_C) \right]$$

$$P = \alpha(T_H + T_C)I - I^2 R$$

$$\eta = \frac{P}{Q_H}$$

เมื่อ	I	กระแสไฟฟ้าที่ได้จากเทอร์โมอิเล็กตริก (A)
	V	แรงดึงไฟฟ้าที่ได้จากเทอร์โมอิเล็กตริก (V)
	n	จำนวนเทอร์โมอิเล็กตริกใน 1 โมดูล (126)
	K	ค่าการนำความร้อนของเทอร์โมอิเล็กตริก ($2.8 \times 10^{-3} \text{ W/K}$)
	P	กำลังไฟฟ้าที่ได้จากเทอร์โมอิเล็กตริก (W)
	R	ค่าความต้านทานไฟฟ้าของเทอร์โมอิเล็กตริก ($6.508 \times 10^{-3} \Omega$)
	Q_H	ความร้อนที่ให้กับเทอร์โมอิเล็กตริก(W)
	Q_C	ความร้อนที่ระบายนอกจากเทอร์โมอิเล็กตริก (W)
	T_H	อุณหภูมิที่ด้านร้อนของเทอร์โมอิเล็กตริก (K)
	T_C	อุณหภูมิที่ด้านเย็นของเทอร์โมอิเล็กตริก (K)
	α	สัมประสิทธิ์ Seebeck ($2.1266 \times 10^{-4} \text{ V/K}$)
	η	ประสิทธิภาพเชิงความร้อน

$$Q_C = n \left[\alpha T_C I - 0.5 I^2 R + K(T_H - T_C) \right]$$

$$Q_{75} = 126 [2.1266 \times 10^{-4} \times 348 \times 0.55 - 0.5 \times 0.55^2 \times 6.058 \times 10^{-3} + 2.8 \times 10^{-3} (348 - 330)]$$

$$= 11.36 \text{ W}$$

$$Q_{120} = 126 [2.1266 \times 10^{-4} \times 393 \times 0.7 - 0.5 \times 0.55^2 \times 6.058 \times 10^{-3} + 2.8 \times 10^{-3} (393 - 346)]$$

$$= 23.77 \text{ W}$$

$$Q_{200} = 126 [2.1266 \times 10^{-4} \times 473 \times 0.55 - 0.5 \times 0.55^2 \times 6.058 \times 10^{-3} + 2.8 \times 10^{-3} (473 - 395)]$$

$$= 37.9 \text{ W}$$

ประสิทธิภาพของการเปลี่ยนพลังงานความร้อนเป็นพลังงานไฟฟ้า ที่ความต้านทานต่าง ๆ

10 Ohm

$(0.615)/(11.36)$	=	0.054
$(1.197)/(23.77)$	=	0.050
$(1.32)/(37.9)$	=	0.035

20 Ohm

$(0.587)/(11.36)$	=	0.052
$(0.826)/(23.77)$	=	0.034
$(0.93)/(37.9)$	=	0.025

50 Ohm

$(0.33)/(11.36)$	=	0.029
$(0.415)/(23.77)$	=	0.017
$(0.491)/(37.9)$	=	0.013

100 Ohm

$(0.192)/(11.36)$	=	0.017
$(0.247)/(23.77)$	=	0.010
$(0.281)/(37.9)$	=	0.007

150 Ohm

$(0.164)/(11.36)$	=	0.014
$(0.159)/(23.77)$	=	0.007
$(0.169)/(37.9)$	=	0.004

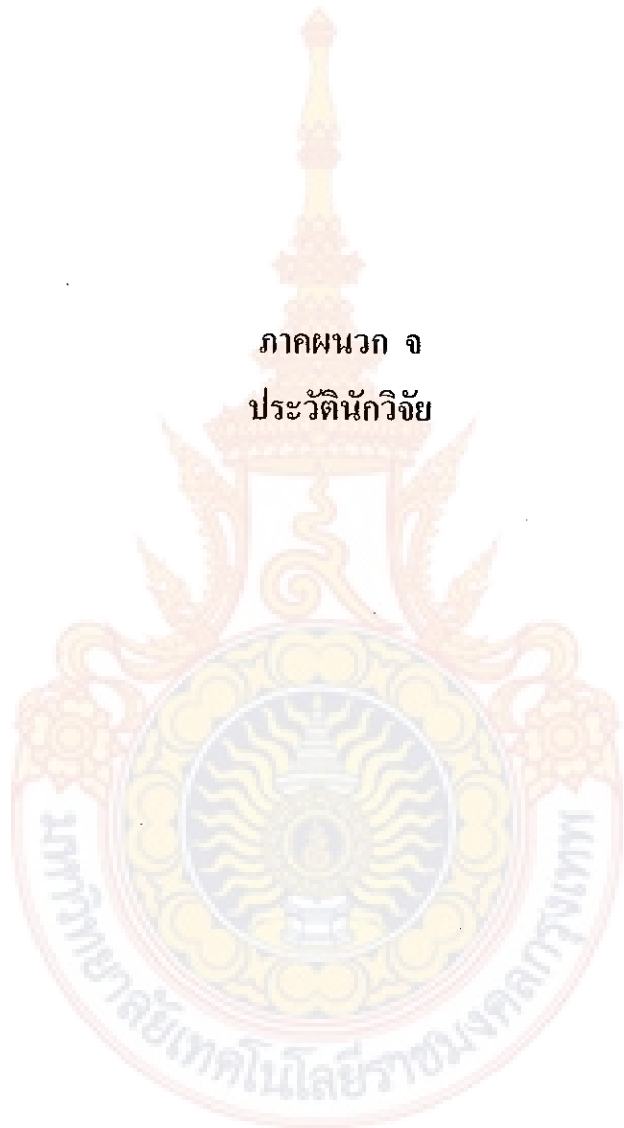
1000 Ohm

$(0.024)/(11.36)$	=	0.002
$(0.017)/(23.77)$	=	0.0007
$(0.013)/(37.9)$	=	0.0003

ประสิทธิภาพของการเปลี่ยนพลังงานความร้อนเป็นพลังงานไฟฟ้าที่ไม่มีภาวะ

ที่ 75°C	$(1.57)/(11.36)$	=	0.138
ที่ 120°C	$(3.02)/(23.77)$	=	0.127
ที่ 200°C	$(4.50)/(37.9)$	=	0.119





1. ข้อมูลทั่วไป

ชื่อ นาย ณรงค์ นามสกุล สังวาระนที
 ตำแหน่งทางวิชาการ อาจารย์ หน่วยงานที่สังกัด สาขาวิศึกษา คณะวิทยาศาสตร์และเทคโนโลยี
 หมายเลขโทรศัพท์ 02-287 9731 โทรสาร 02-287 9731
 หมายเลขโทรศัพท์ 083-713 8138 E-mail: narong_5@hotmail.com, narong.s@rmutk.ac.th

2. ประวัติการศึกษา (ปริญญาตรี โท เอก)

วุฒิการศึกษา	ปีที่สำเร็จการศึกษา	สถานศึกษา
ปร.ด. (พิสิกส์ประยุกต์)	2552	สถาบันเทคโนโลยีพระจอมเกล้าเจ้าคุณทหารลาดกระบัง
วท.ม.(พิสิกส์ประยุกต์)	2549	สถาบันเทคโนโลยีพระจอมเกล้าเจ้าคุณทหารลาดกระบัง
วท.บ.(พิสิกส์)	2546	สถาบันราชภัฏเทพสตรี (ลพบุรี)

3.งานวิจัย

International Conference

- ① N.Sangwara and P.P. Yupapin, **High Capacity Tunable Wavelength Generation for Super Dense Wavelength Division Multiplexing Use**, I-SEEC2008
- ② N.Sangwaranatee, P.Chaiyzchate, S.Mitatha, P.P. Yapapin. **Molecule Transportation via Hybrid MUX/DEMUX Sytem**. PIERS Online, 2010.

International Journal

- ① N.sangwara , P.P. Yupapin and W. Khannam, **High Capacity Tunable Wavelength Generation and Filtering using a Nonlinear Micro Ring Resonator for DWDM Applications**, SPC2009.
- ② N. Sangwara, K. Sarapat, K. Srinuanjan and P.P. Yupapin, **A Novel Dark-Bright Optical Solitons Conversion System and Power Amplification**, Optical Engineering, Vol. 48(4), 2009.(Impact Factor:2008:0.757)
- ③ N. Sangwara, C. Teeka, S. Pipatsart, and P.P. Yupapin, **An investigation of dark soliton behaviours within the nonlinear micro and nano ring resonators**, Optik - International Journal for Light and Electron Optics, 2009. (Impact Factor:2008:0.507)

- ④ P.P. Yupapin, N. Sangwara, N. Pornsuwancharoen, Generalized optical filters using a nonlinear micro ring resonator system, Optik - International Journal for Light and Electron Optics, 2009. (Impact Factor 2008: 0.507)
- ⑤ N. Pornsuwancharoen, P. Youplao, N. Sangwara, P.P. Yupapin, Multi-wavelength generation of an extremely narrow pulse using a ring resonator system for bio-cells microscopy. Optik - International Journal for Light and Electron Optics, 2009. (Impact Factor 2008: 0.507)
- ⑥ N. Sangwara, N. Pornsuwancharoen, P.P. Yupapin. Soliton pulses generation and filtering using micro-ring resonators for DWDM-based soliton communication
Optik - International Journal for Light and Electron Optics, 2009. (Impact Factor 2008: 0.507)
- ⑦ N. Pornsuwancharoen, N. Sangwara, P.P. Yupapin. Generalized fast and slow lights using multi-state microring resonators for optical wireless links
Optik - International Journal for Light and Electron Optics, 2009. (Impact Factor 2008: 0.507)
- ⑧ N. Wattanasiripong, N. Sangwaranatee, C. Leenawong and P.P. Yupapin, High Capacity Photon/Atom Transportation using Hybrid Multiplexer via DWDM Link, Far East Journal of Mathematical Science, 2009. (Impact Factor:2008:0.816)